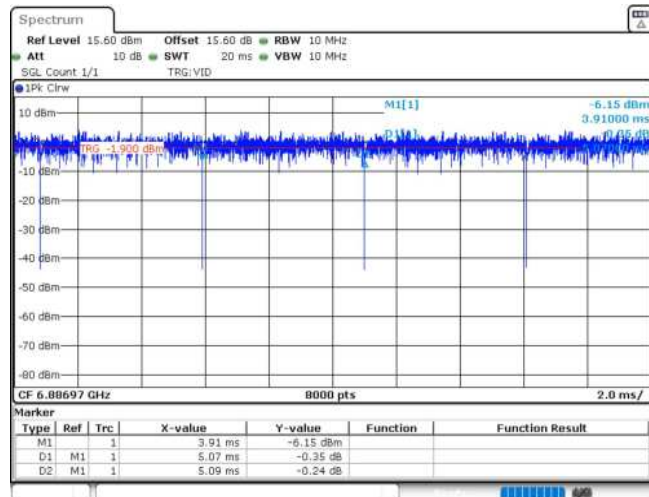
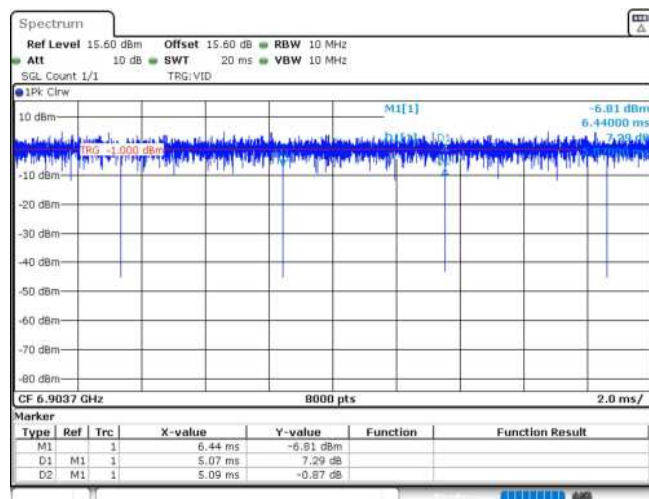


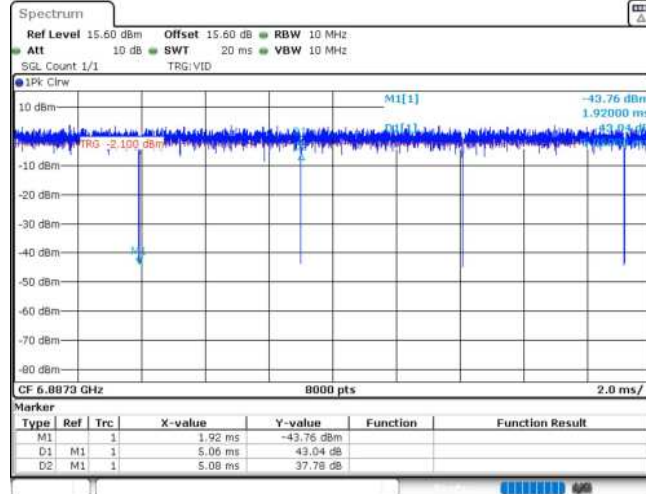
11AX20MIMO_Ant1_6895_106Tone_RU54



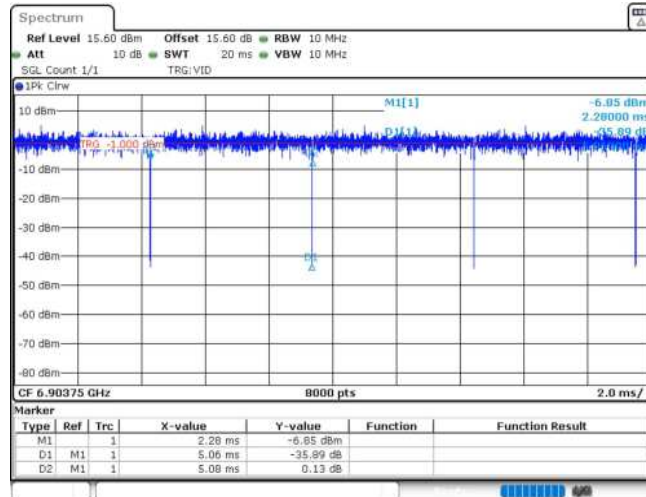
11AX20MIMO_Ant2_6895_26Tone_RU0



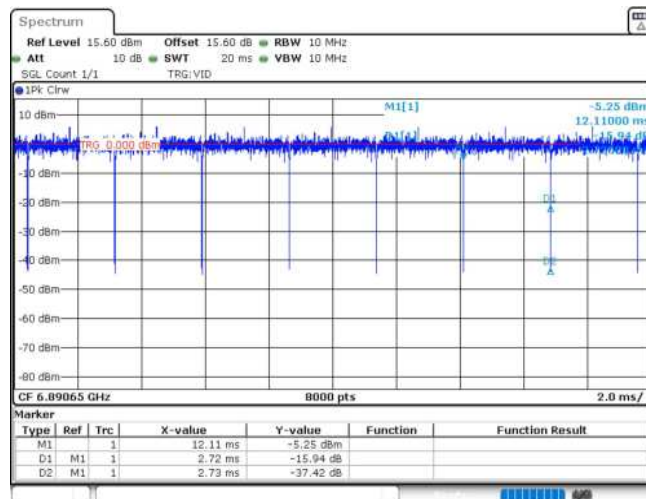
11AX20MIMO_Ant2_6895_26Tone_RU8



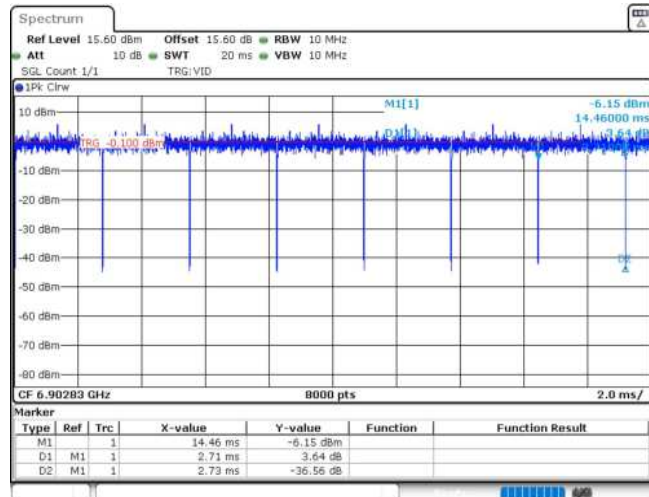
11AX20MIMO_Ant2_6895_52Tone_RU37



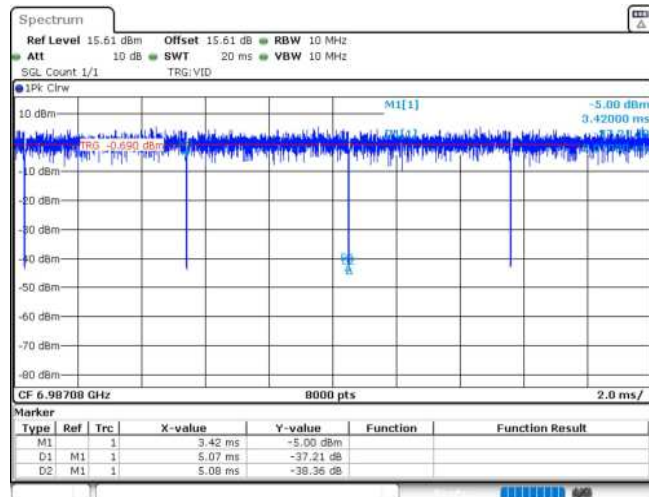
11AX20MIMO_Ant2_6895_52Tone_RU40



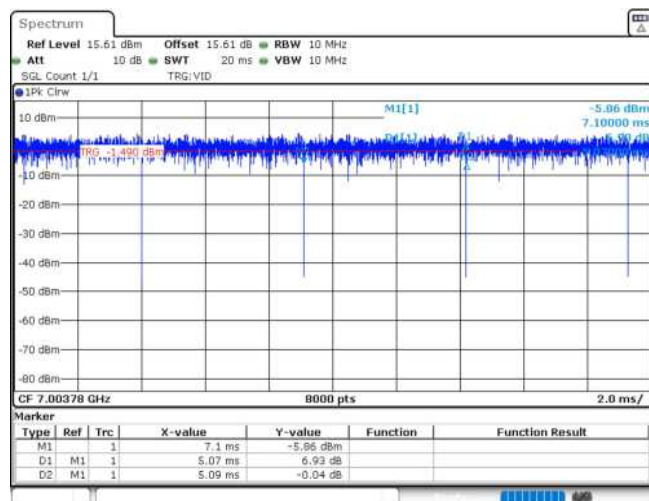
11AX20MIMO_Ant2_6895_106Tone_RU53



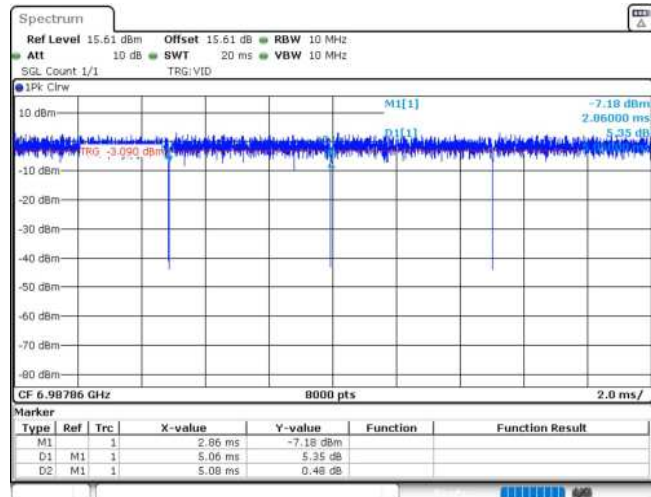
11AX20MIMO_Ant2_6895_106Tone_RU54



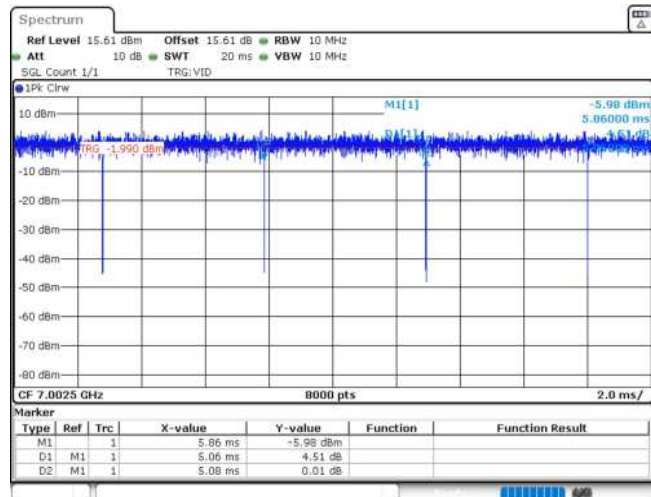
11AX20MIMO_Ant1_6995_26Tone_RU0



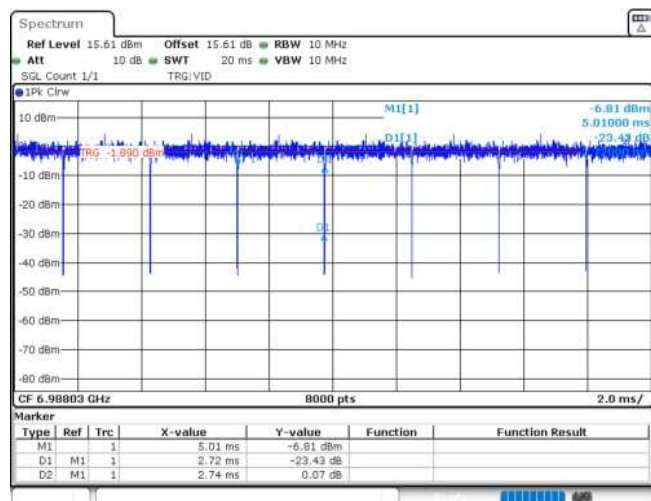
11AX20MIMO_Ant1_6995_26Tone_RU8



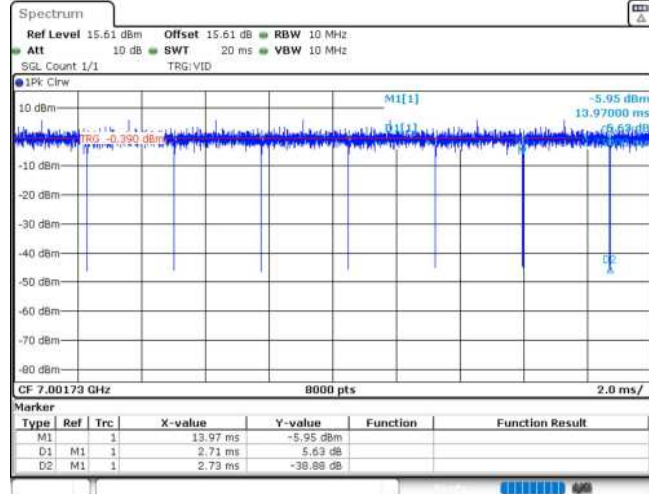
11AX20MIMO_Ant1_6995_52Tone_RU37



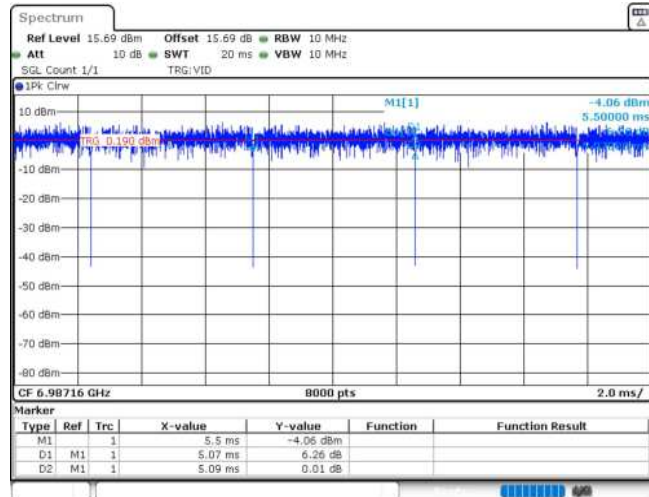
11AX20MIMO_Ant1_6995_52Tone_RU40



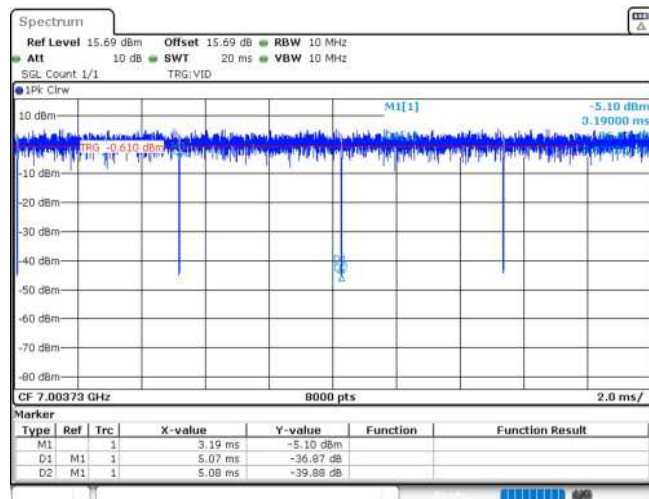
11AX20MIMO_Ant1_6995_106Tone_RU53



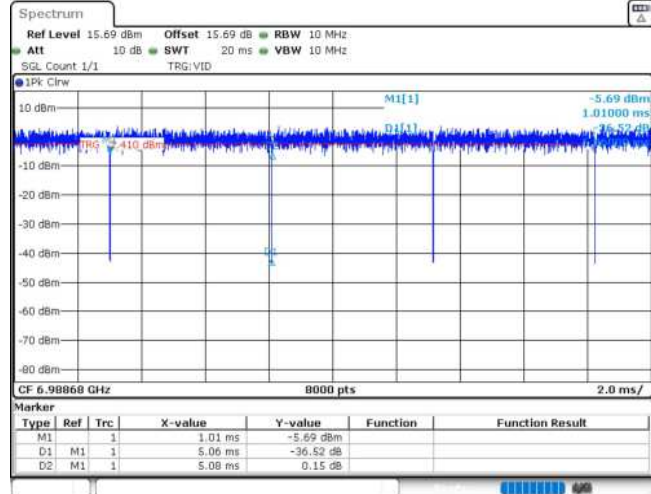
11AX20MIMO_Ant1_6995_106Tone_RU54



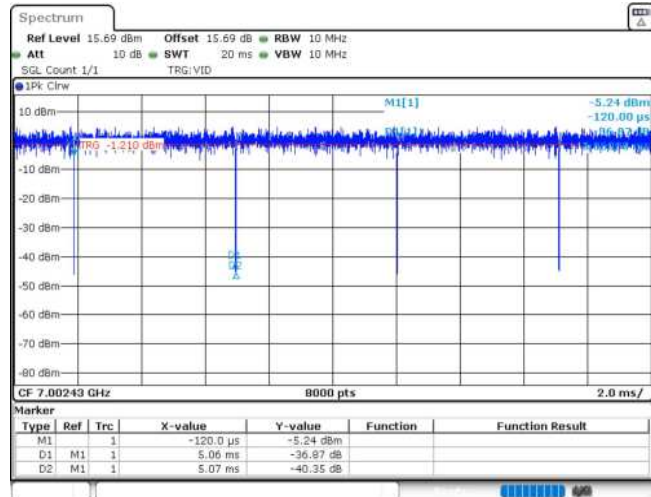
11AX20MIMO_Ant2_6995_26Tone_RU0



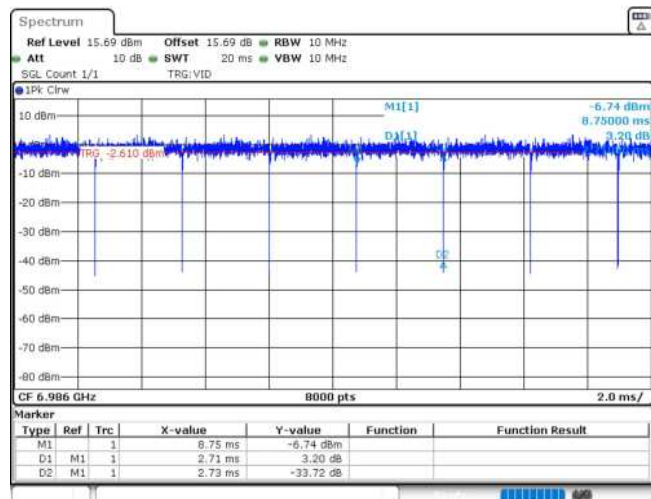
11AX20MIMO_Ant2_6995_26Tone_RU8



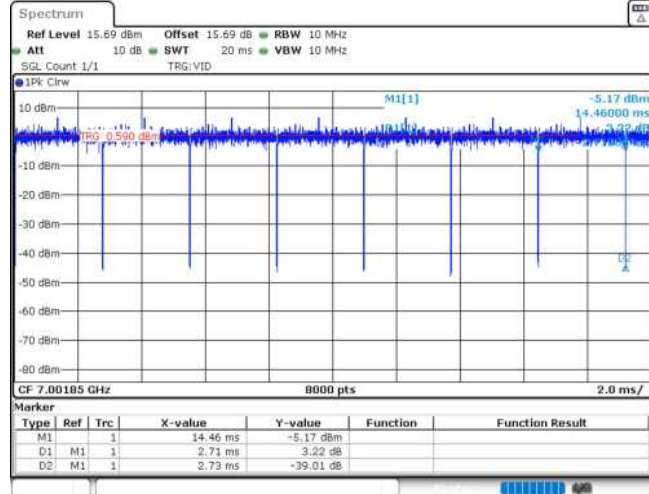
11AX20MIMO_Ant2_6995_52Tone_RU37



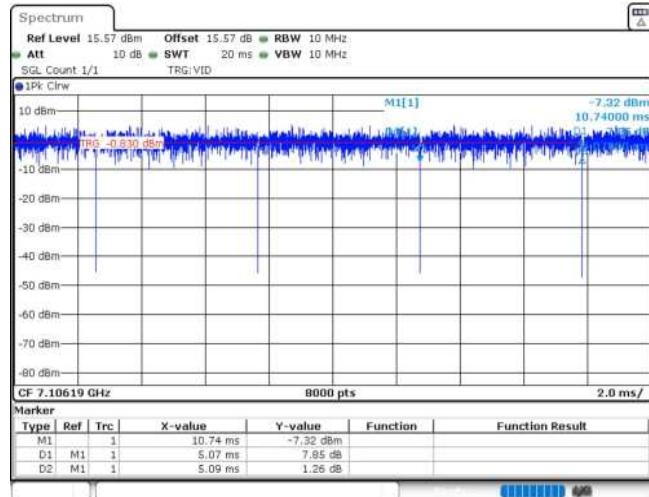
11AX20MIMO_Ant2_6995_52Tone_RU40



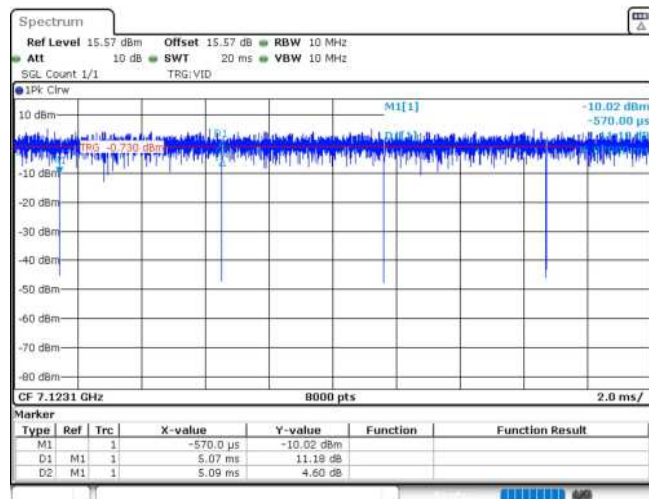
11AX20MIMO_Ant2_6995_106Tone_RU53



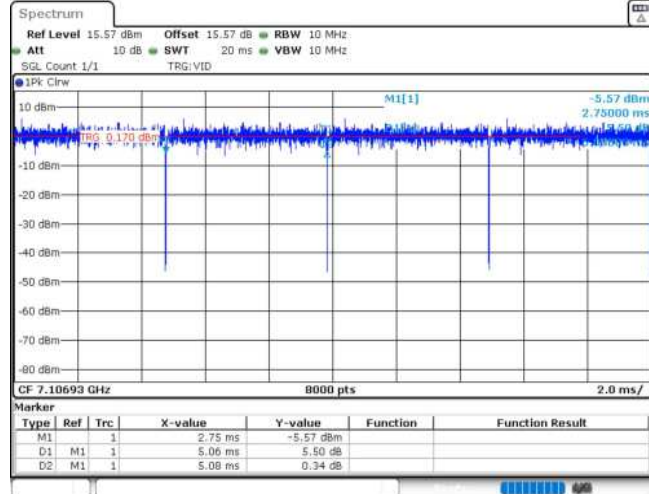
11AX20MIMO_Ant2_6995_106Tone_RU54



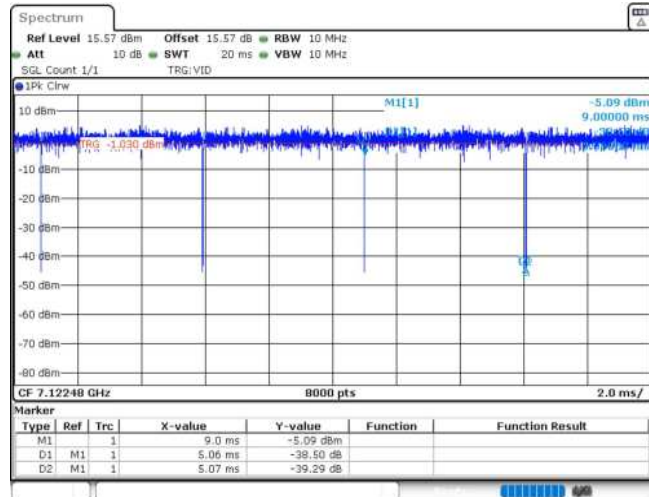
11AX20MIMO_Ant1_7115_26Tone_RU0



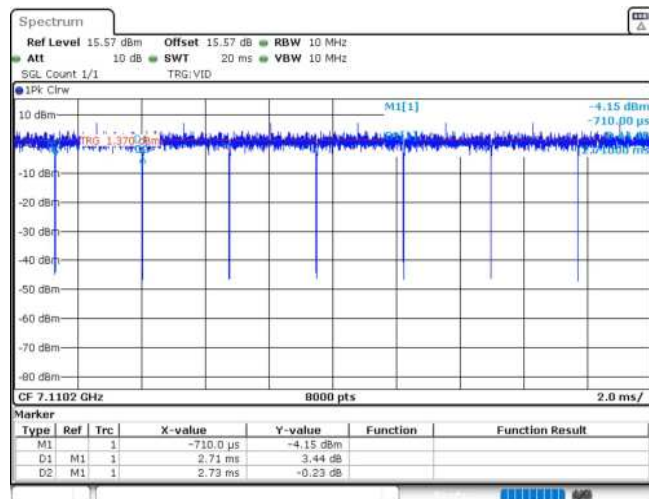
11AX20MIMO_Ant1_7115_26Tone_RU8



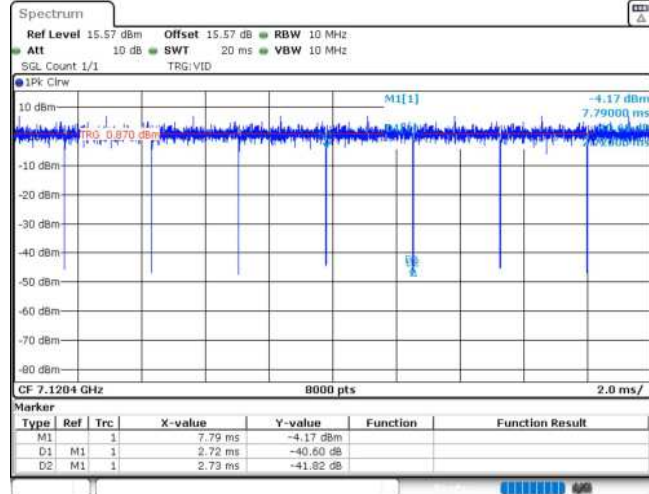
11AX20MIMO_Ant1_7115_52Tone_RU37



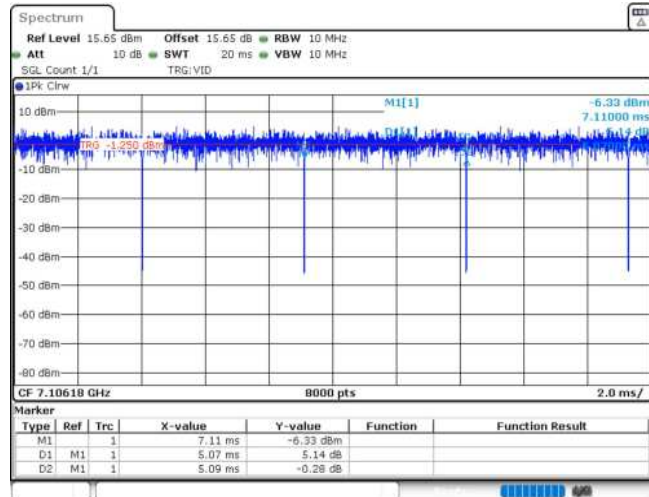
11AX20MIMO_Ant1_7115_52Tone_RU40



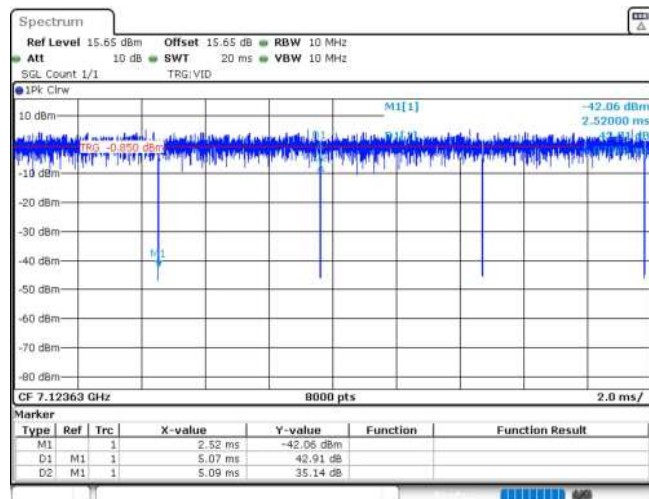
11AX20MIMO_Ant1_7115_106Tone_RU53



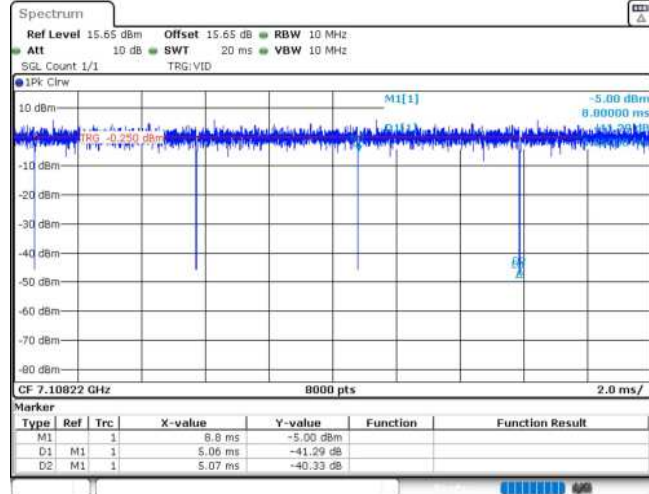
11AX20MIMO_Ant1_7115_106Tone_RU54



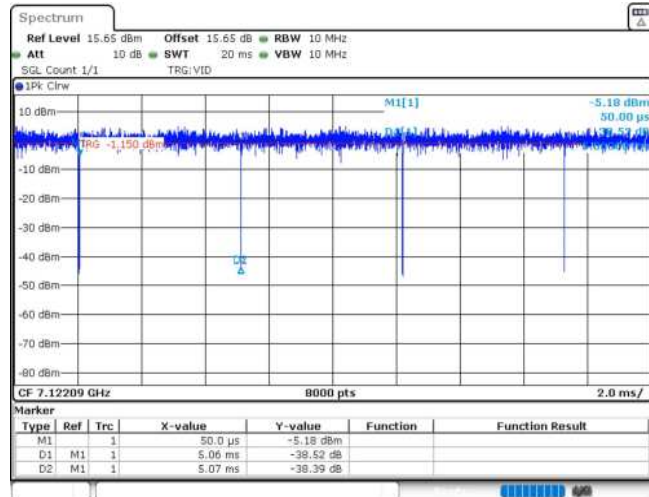
11AX20MIMO_Ant2_7115_26Tone_RU0



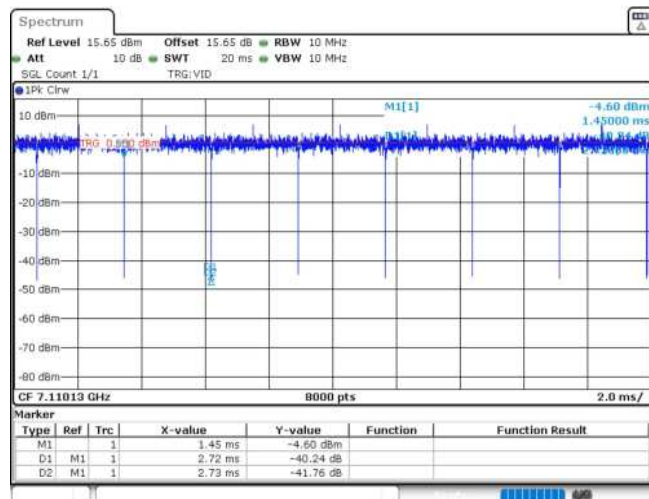
11AX20MIMO_Ant2_7115_26Tone_RU8



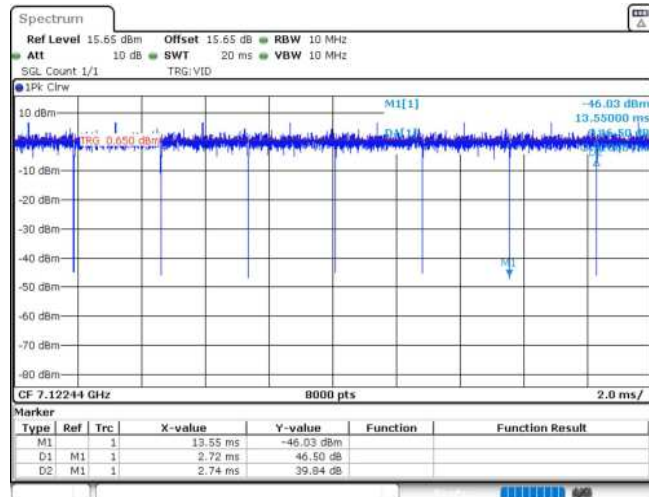
11AX20MIMO_Ant2_7115_52Tone_RU37



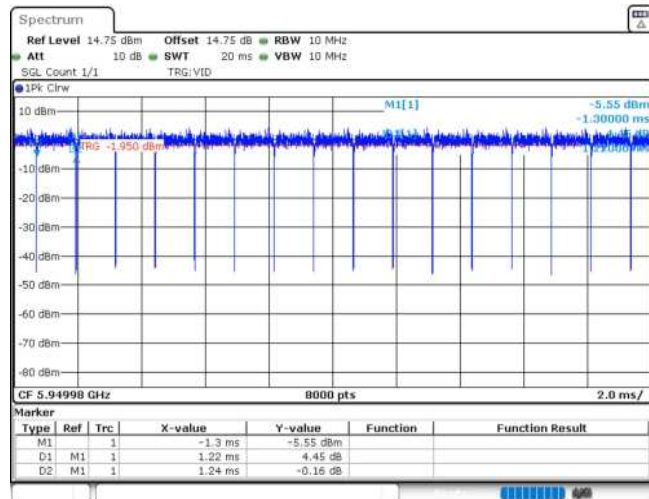
11AX20MIMO_Ant2_7115_52Tone_RU40



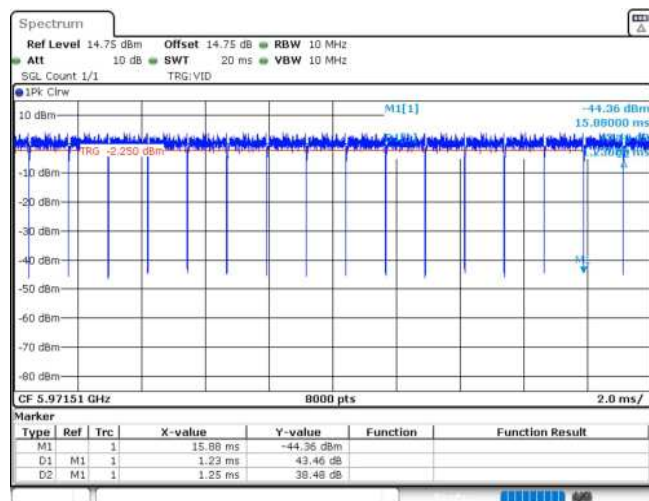
11AX20MIMO_Ant2_7115_106Tone_RU53



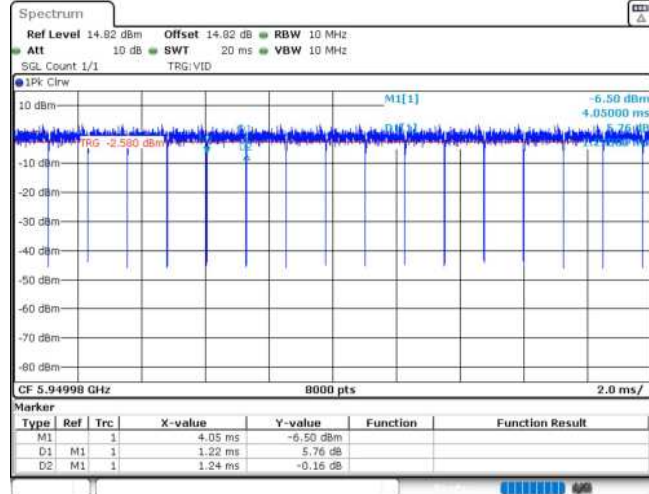
11AX20MIMO_Ant2_7115_106Tone_RU54



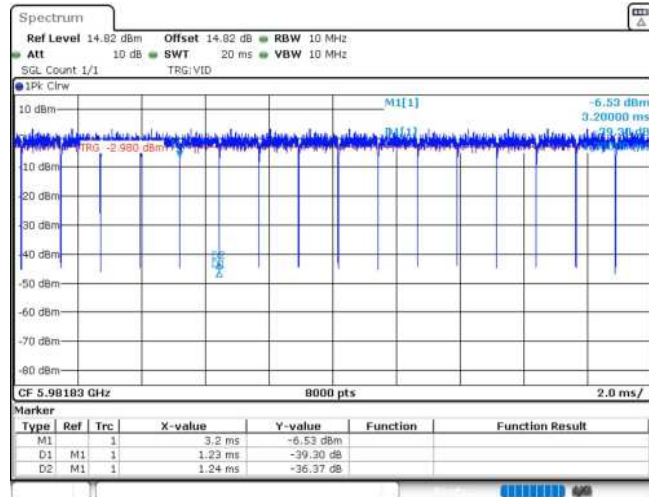
11AX40MIMO_Ant1_5965_242Tone_RU61



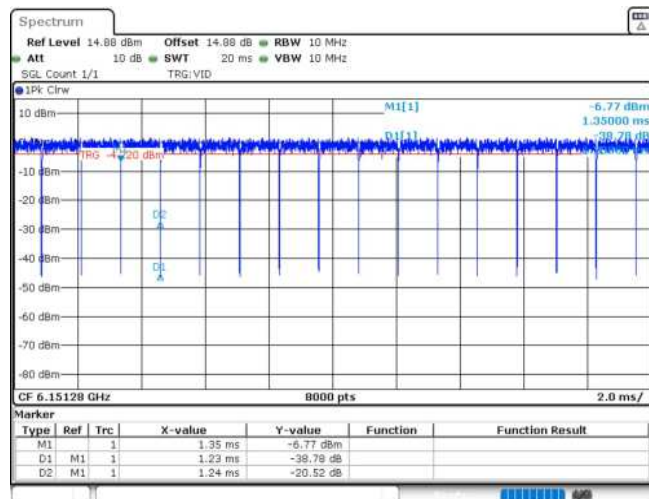
11AX40MIMO_Ant1_5965_242Tone_RU62



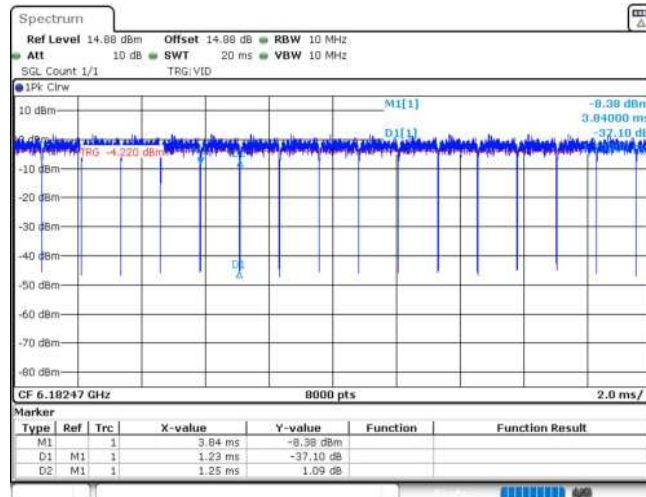
11AX40MIMO_Ant2_5965_242Tone_RU61



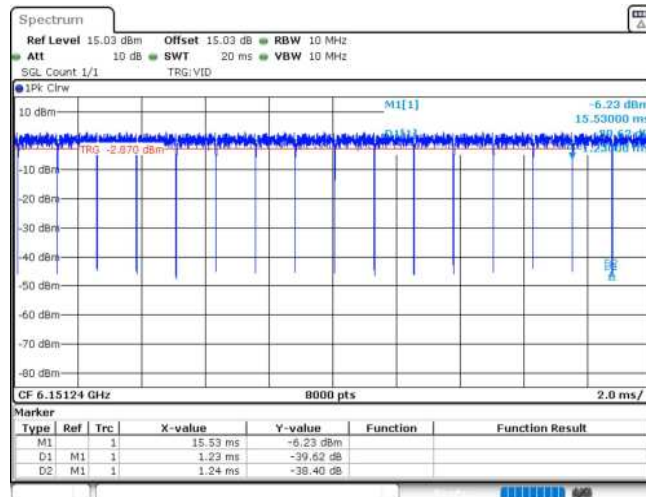
11AX40MIMO_Ant2_5965_242Tone_RU62



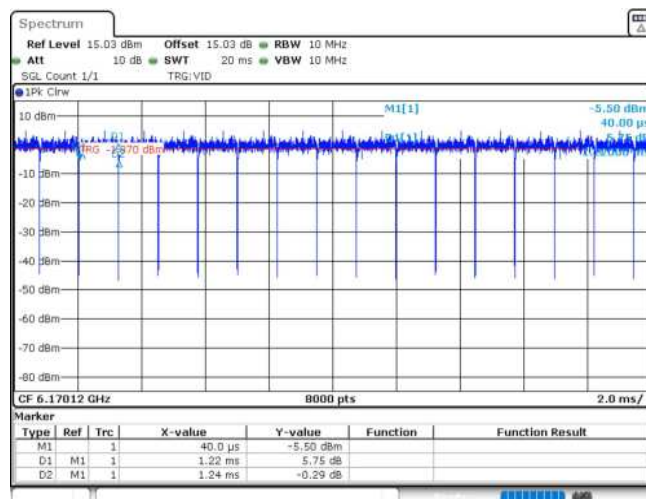
11AX40MIMO_Ant1_6165_242Tone_RU61



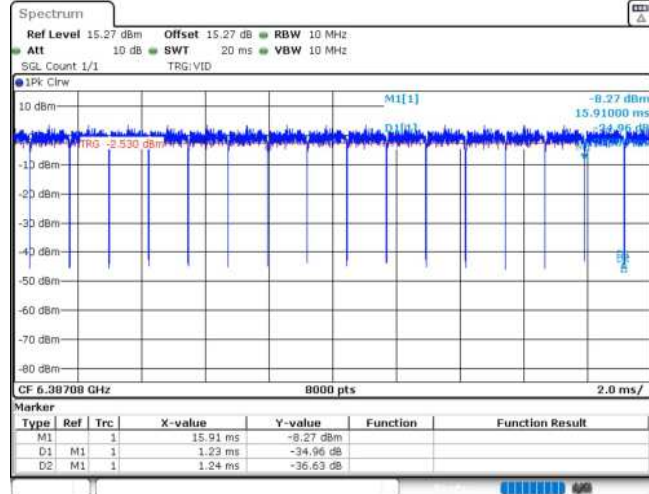
11AX40MIMO_Ant1_6165_242Tone_RU62



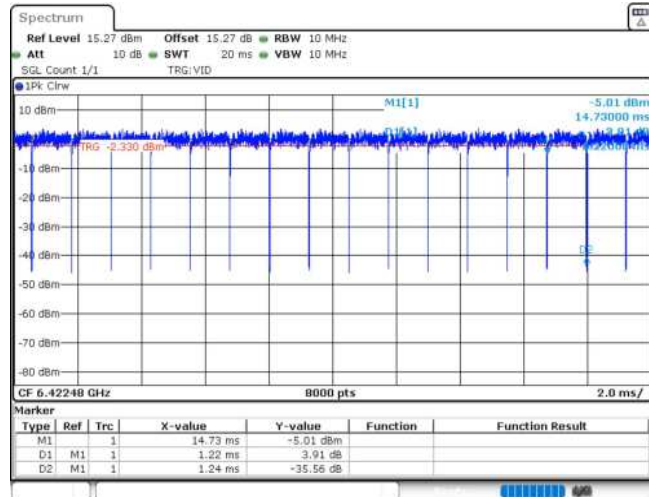
11AX40MIMO_Ant2_6165_242Tone_RU61



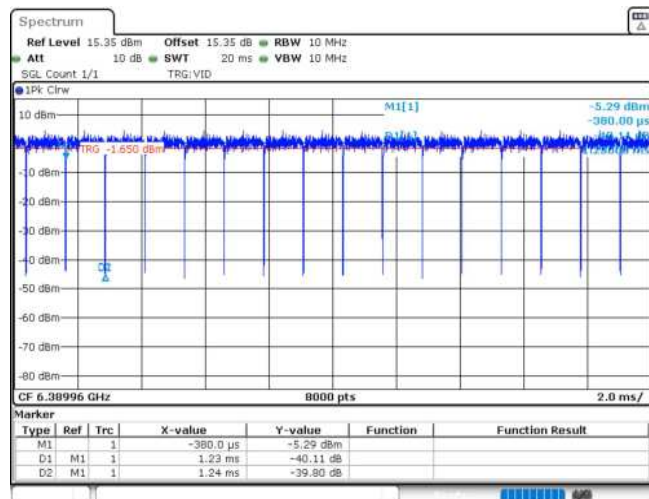
11AX40MIMO_Ant2_6165_242Tone_RU62



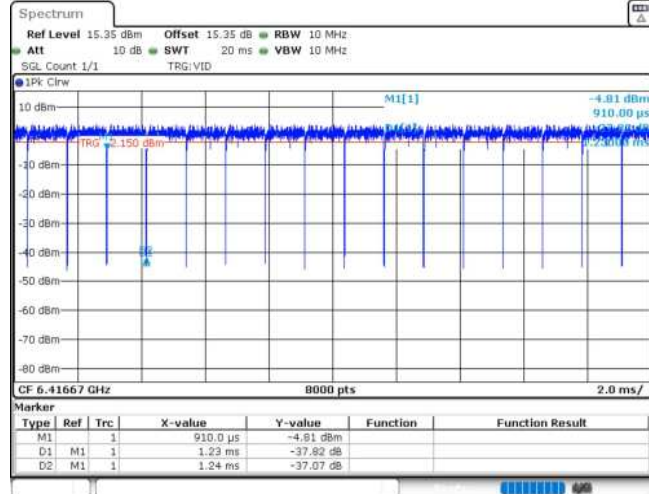
11AX40MIMO_Ant1_6405_242Tone_RU61



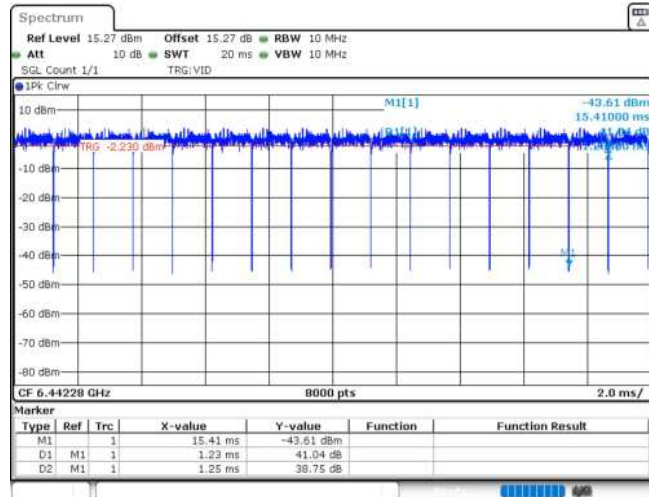
11AX40MIMO_Ant1_6405_242Tone_RU62



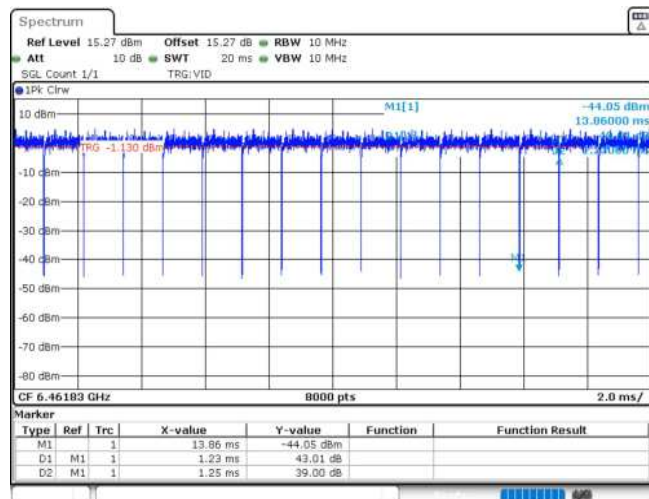
11AX40MIMO_Ant2_6405_242Tone_RU61



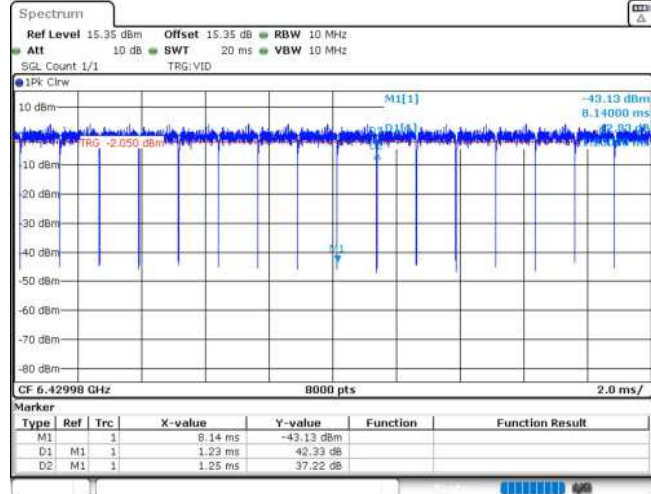
11AX40MIMO_Ant2_6405_242Tone_RU62



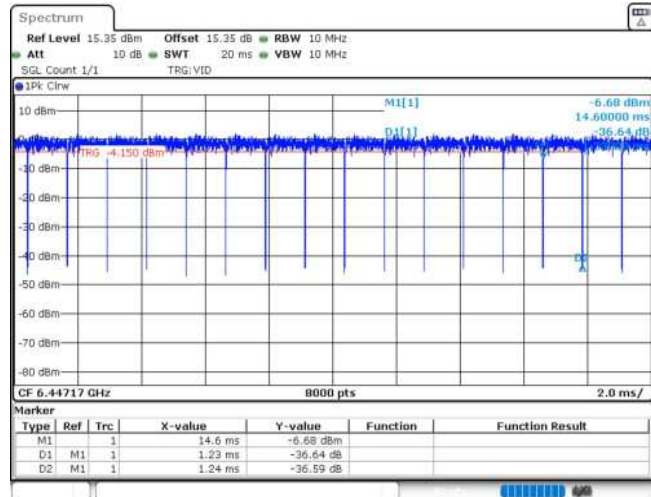
11AX40MIMO_Ant1_6445_242Tone_RU61



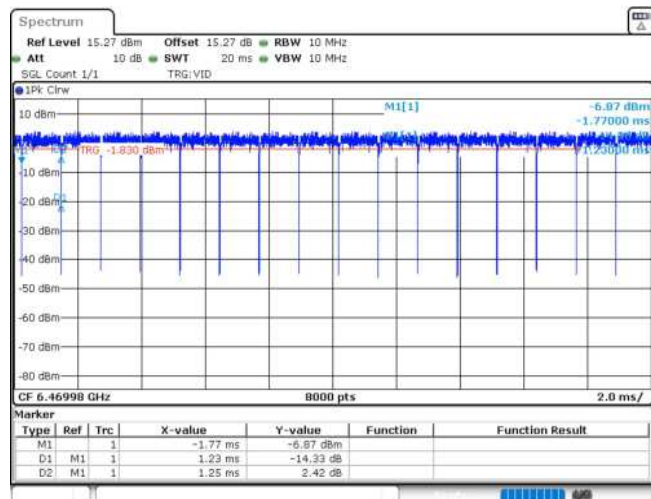
11AX40MIMO_Ant1_6445_242Tone_RU62



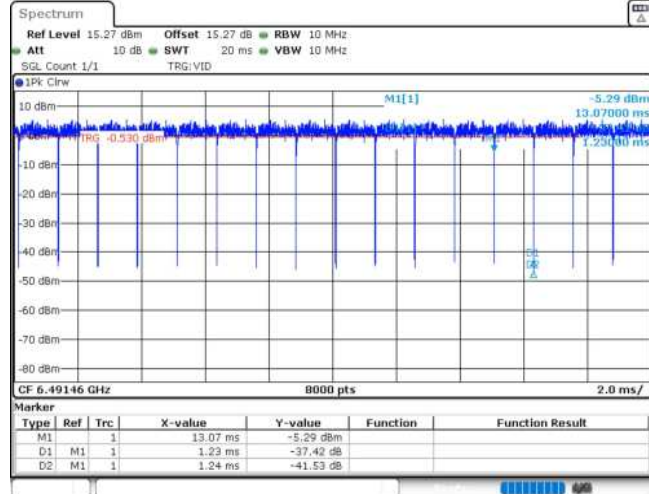
11AX40MIMO_Ant2_6445_242Tone_RU61



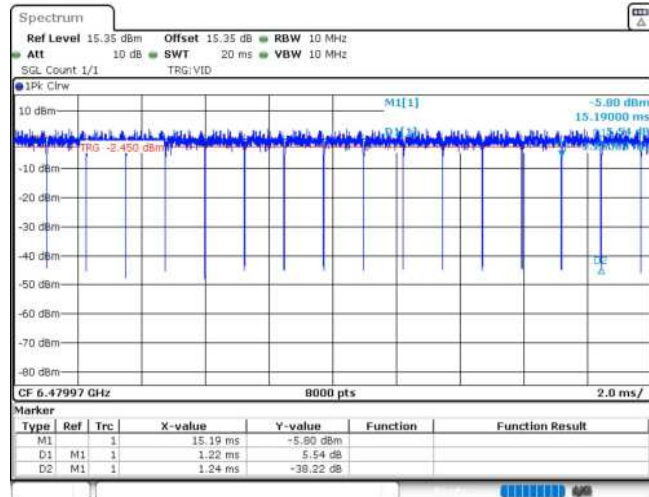
11AX40MIMO_Ant2_6445_242Tone_RU62



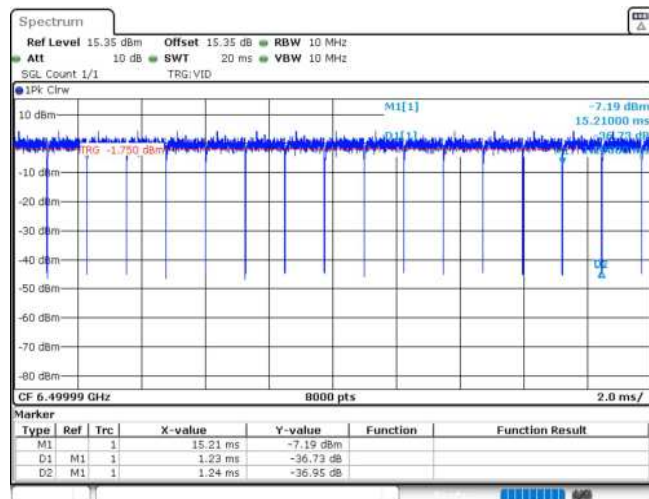
11AX40MIMO_Ant1_6485_242Tone_RU61



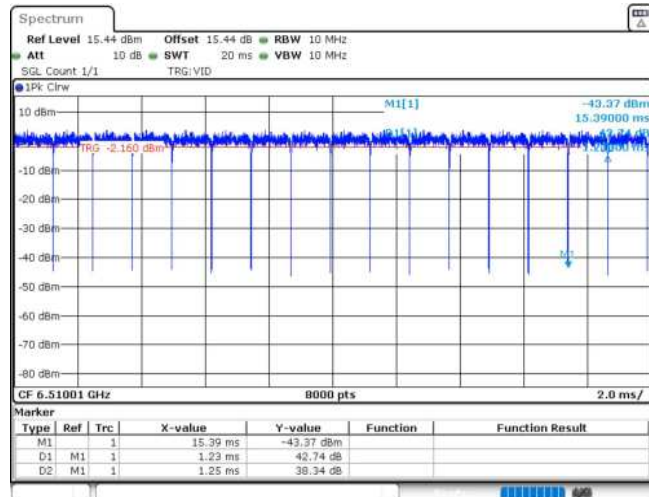
11AX40MIMO_Ant1_6485_242Tone_RU62



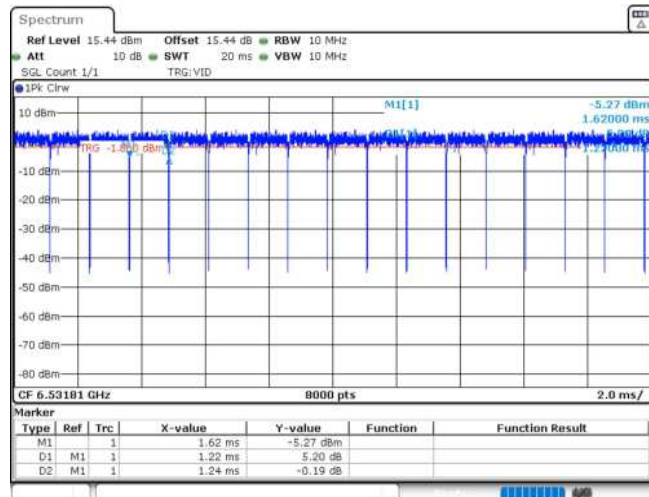
11AX40MIMO_Ant2_6485_242Tone_RU61



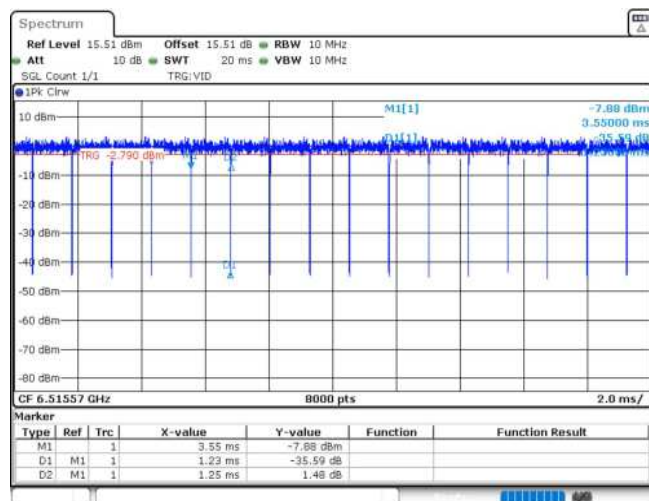
11AX40MIMO_Ant2_6485_242Tone_RU62



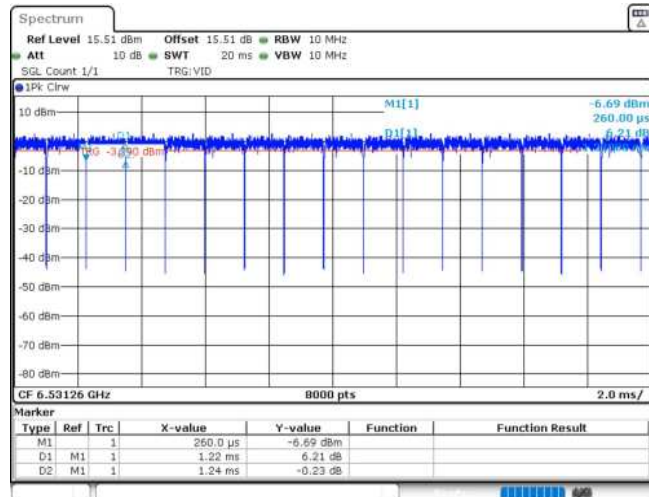
11AX40MIMO_Ant1_6525_242Tone_RU61



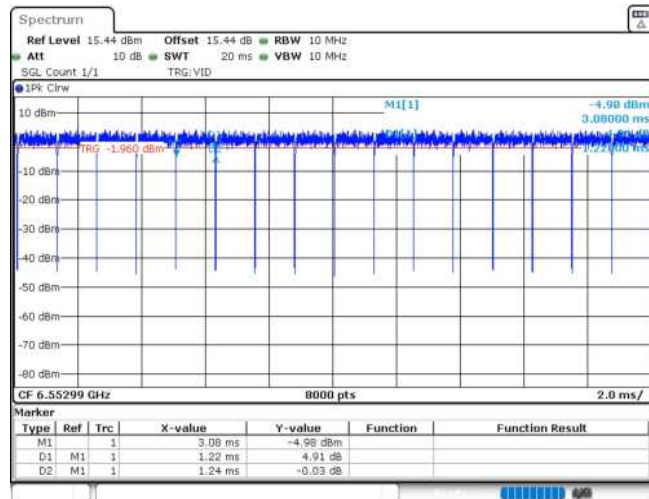
11AX40MIMO_Ant1_6525_242Tone_RU62



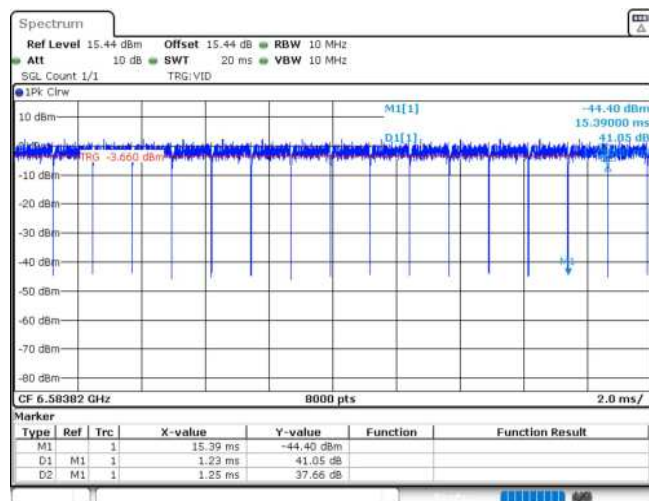
11AX40MIMO_Ant2_6525_242Tone_RU61



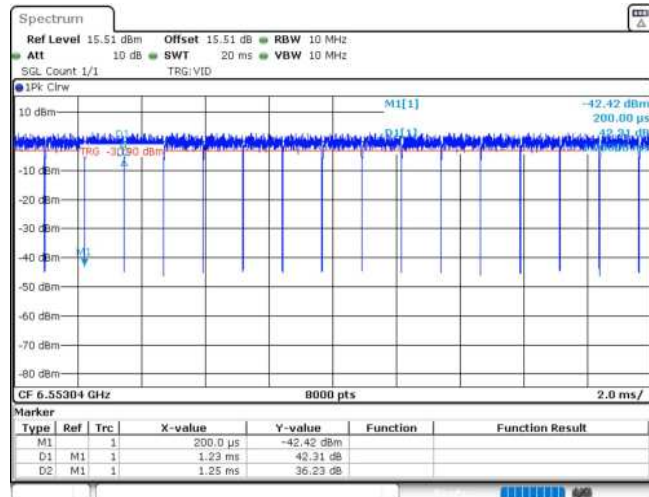
11AX40MIMO_Ant2_6525_242Tone_RU62



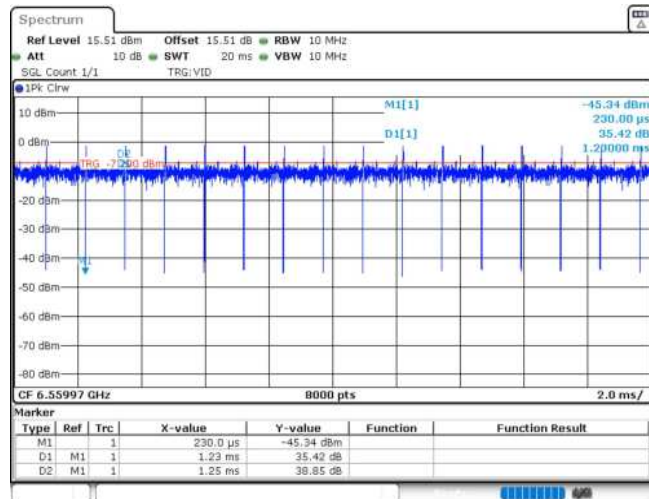
11AX40MIMO_Ant1_6565_242Tone_RU61



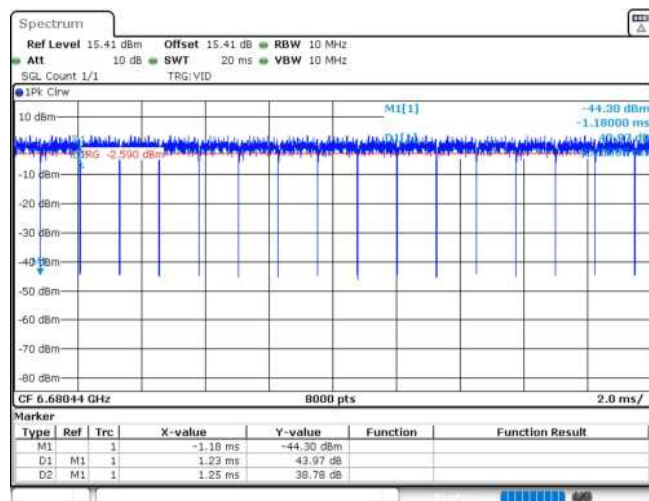
11AX40MIMO_Ant1_6565_242Tone_RU62



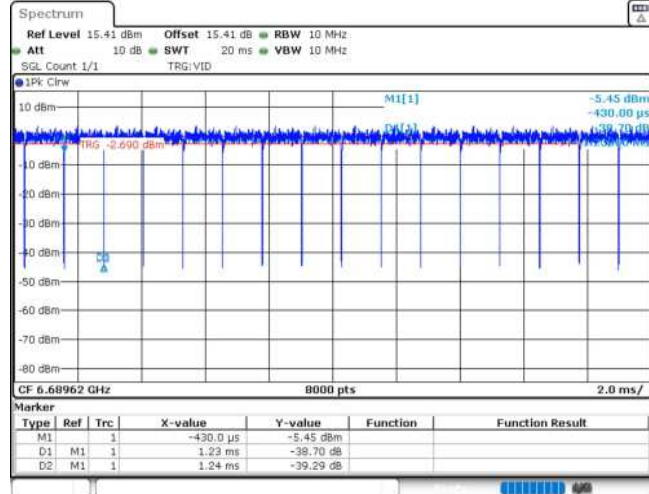
11AX40MIMO_Ant2_6565_242Tone_RU61



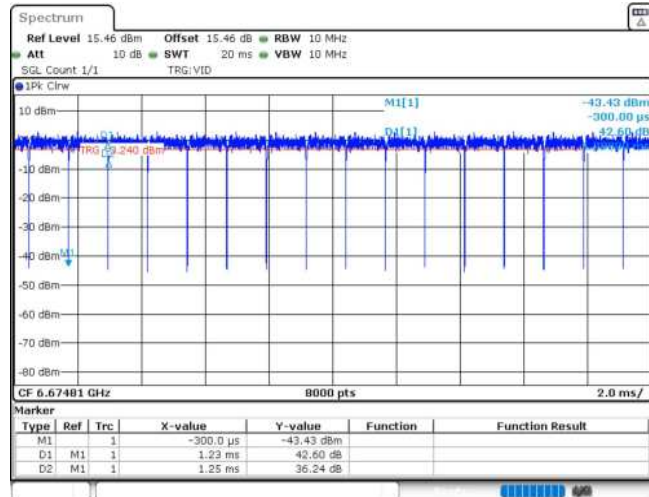
11AX40MIMO_Ant2_6565_242Tone_RU62



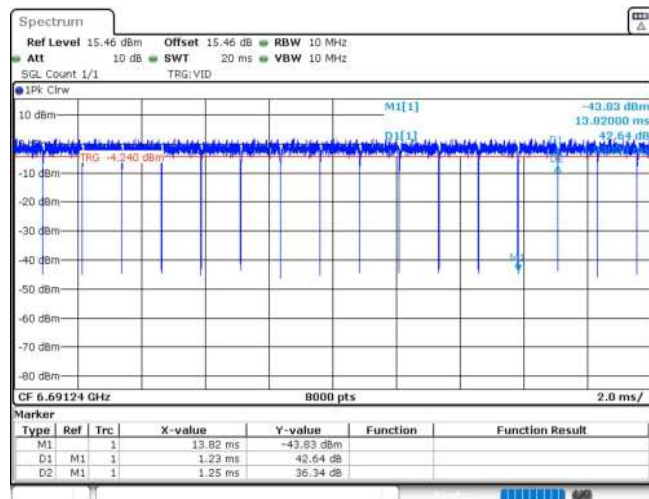
11AX40MIMO_Ant1_6685_242Tone_RU61



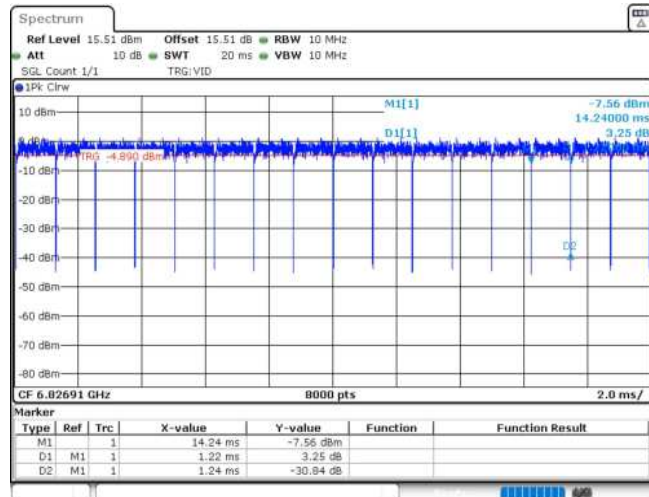
11AX40MIMO_Ant1_6685_242Tone_RU62



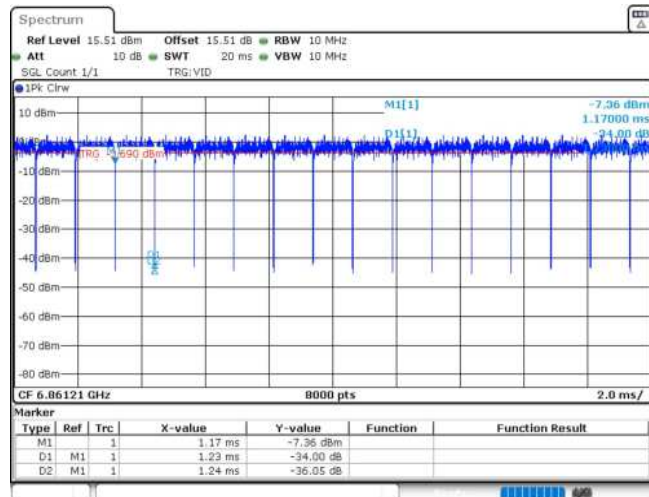
11AX40MIMO_Ant2_6685_242Tone_RU61



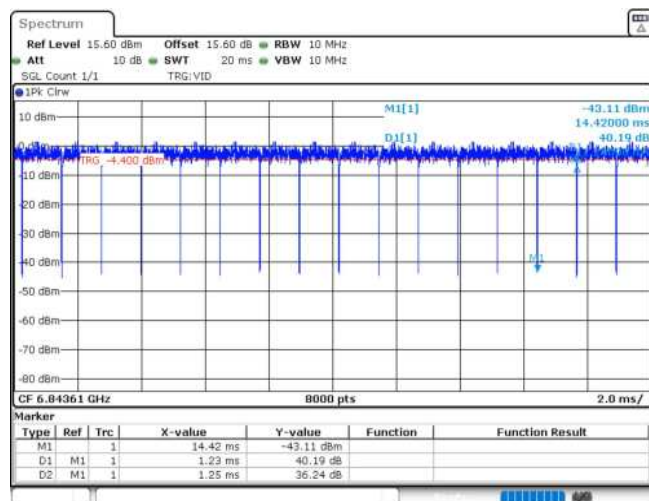
11AX40MIMO_Ant2_6685_242Tone_RU62



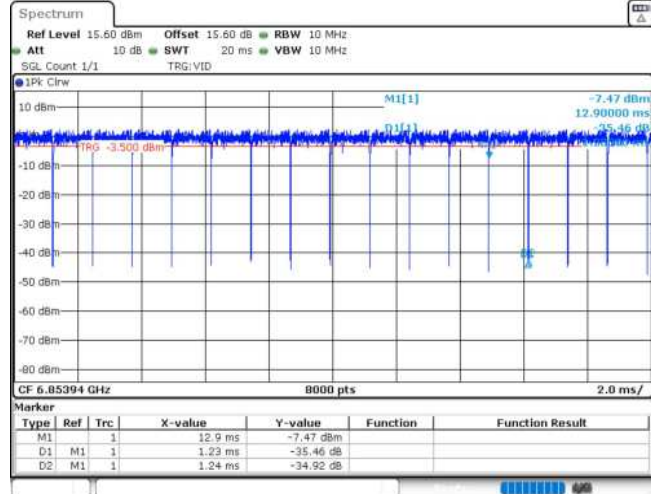
11AX40MIMO_Ant1_6845_242Tone_RU61



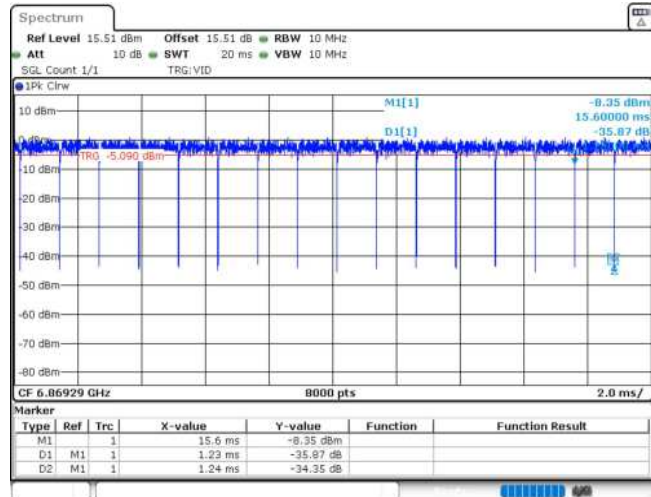
11AX40MIMO_Ant1_6845_242Tone_RU62



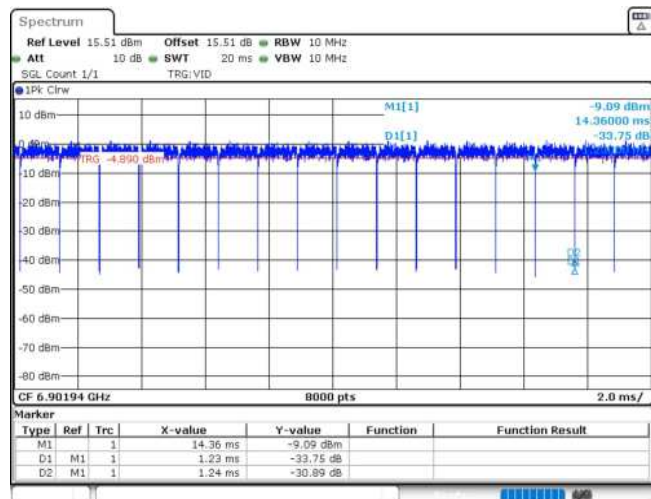
11AX40MIMO_Ant2_6845_242Tone_RU61



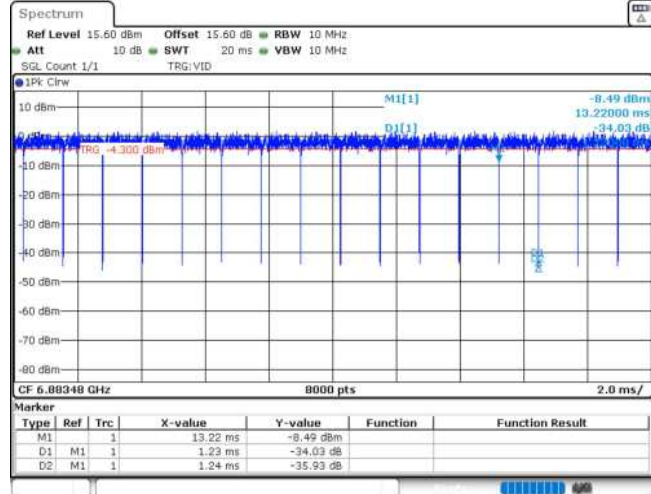
11AX40MIMO_Ant2_6845_242Tone_RU62



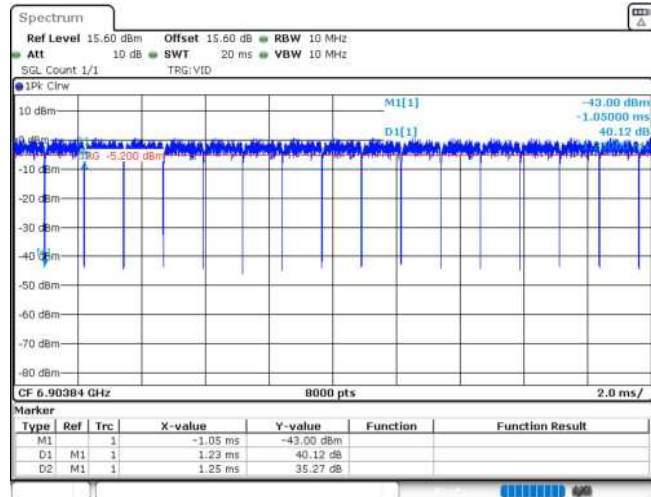
11AX40MIMO_Ant1_6885_242Tone_RU61



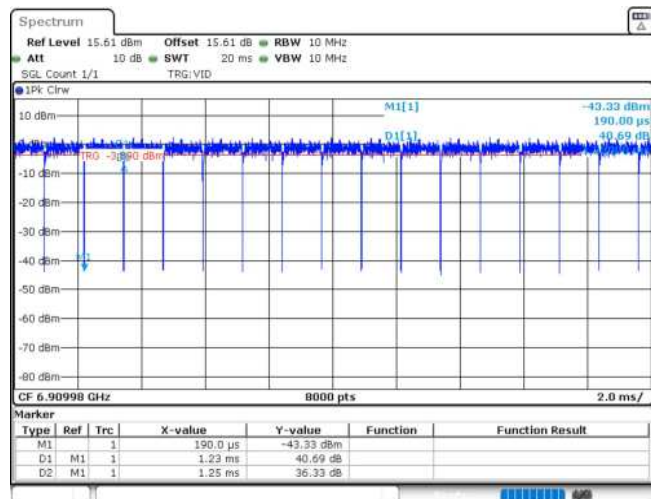
11AX40MIMO_Ant1_6885_242Tone_RU62



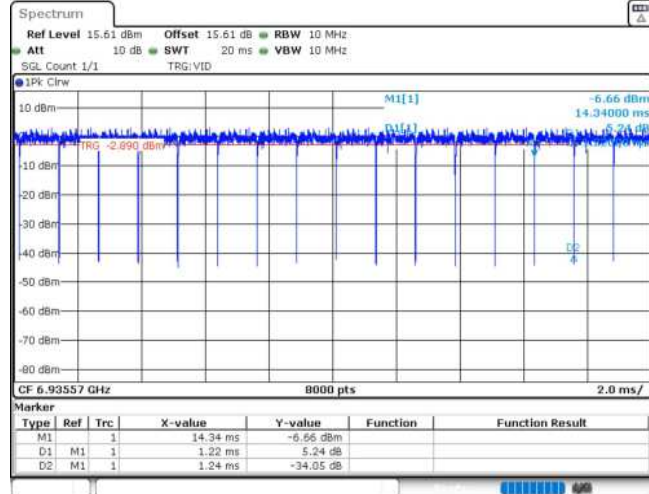
11AX40MIMO_Ant2_6885_242Tone_RU61



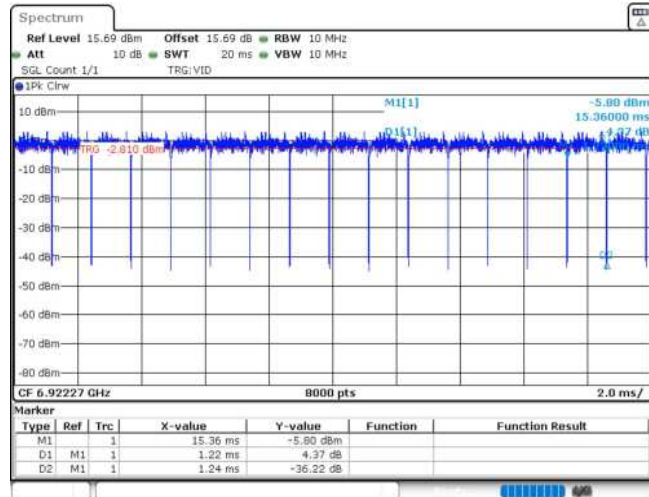
11AX40MIMO_Ant2_6885_242Tone_RU62



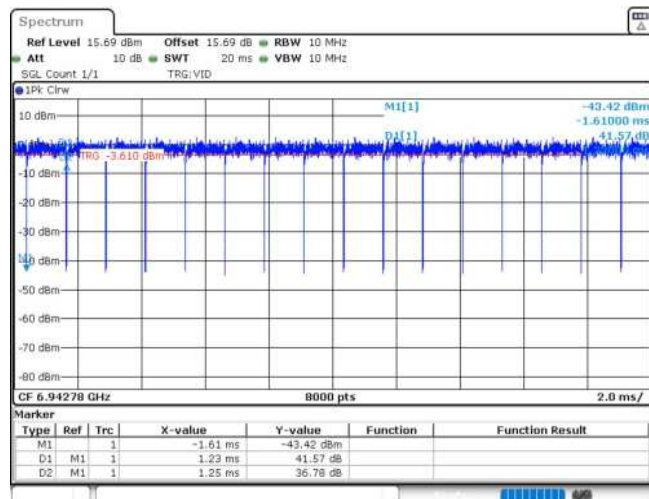
11AX40MIMO_Ant1_6925_242Tone_RU61



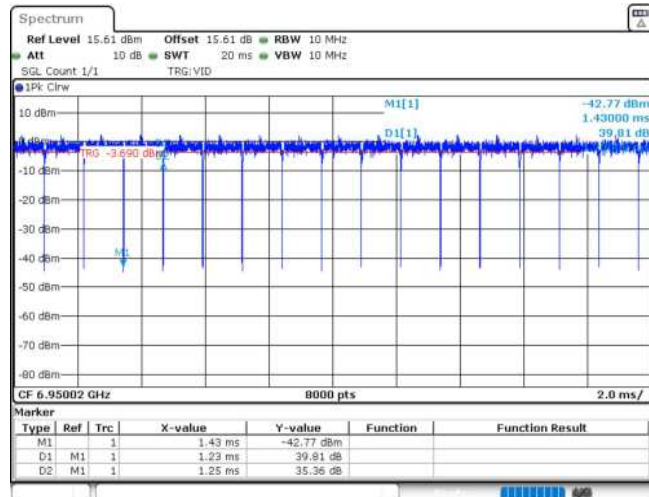
11AX40MIMO_Ant1_6925_242Tone_RU62



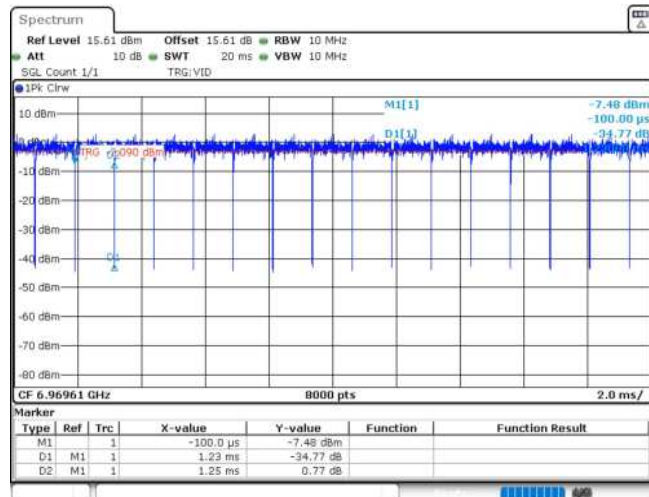
11AX40MIMO_Ant2_6925_242Tone_RU61



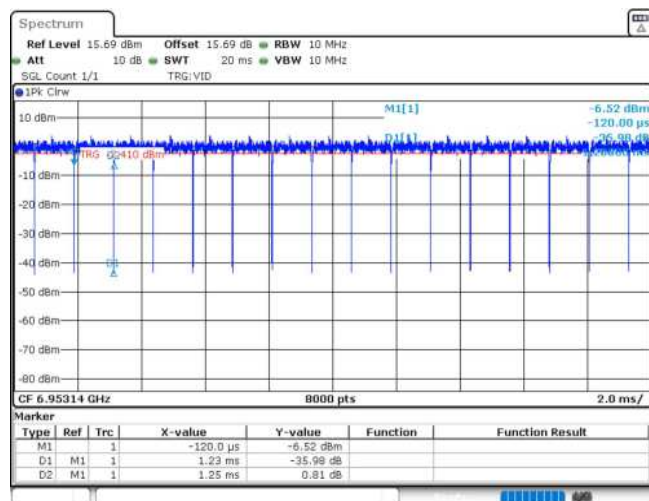
11AX40MIMO_Ant2_6925_242Tone_RU62



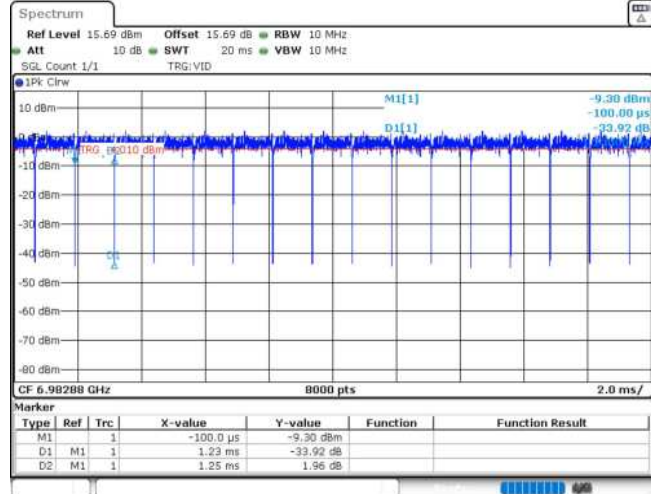
11AX40MIMO_Ant1_6965_242Tone_RU61



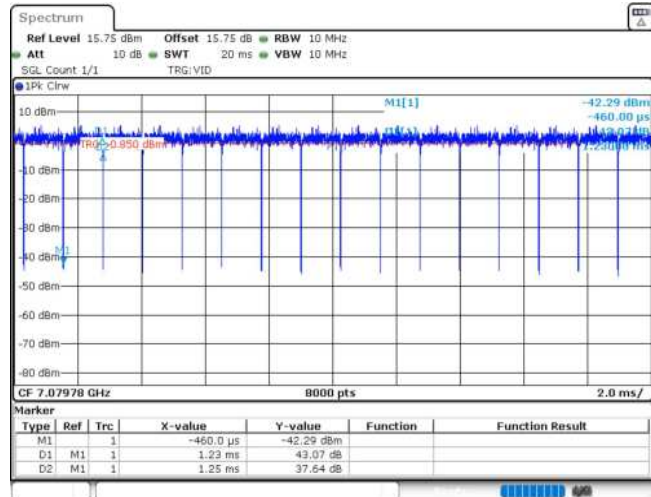
11AX40MIMO_Ant1_6965_242Tone_RU62



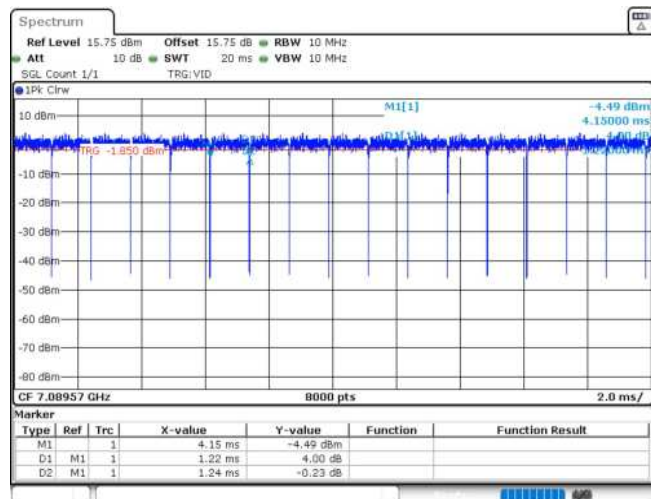
11AX40MIMO_Ant2_6965_242Tone_RU61



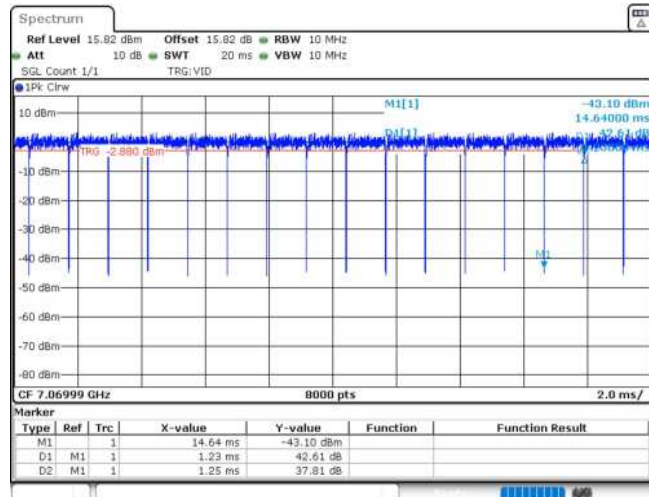
11AX40MIMO_Ant2_6965_242Tone_RU62



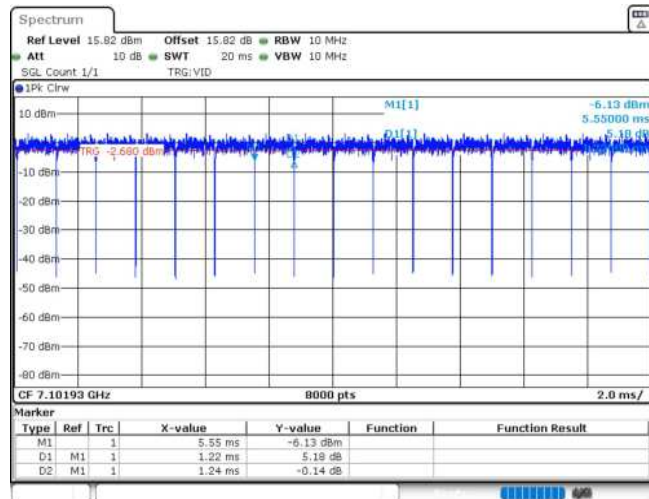
11AX40MIMO_Ant1_7085_242Tone_RU61



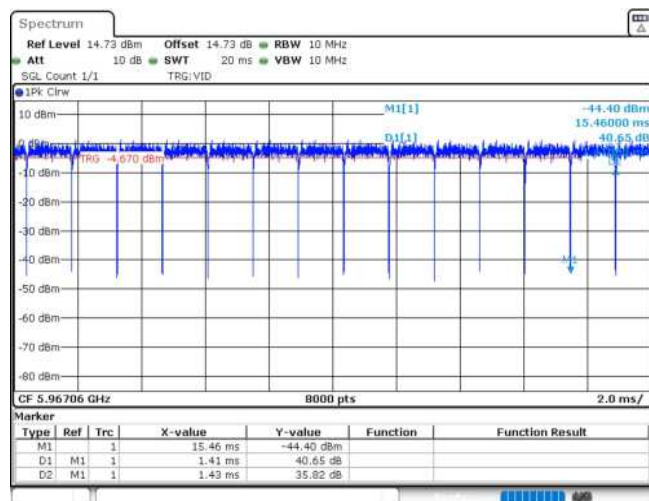
11AX40MIMO_Ant1_7085_242Tone_RU62



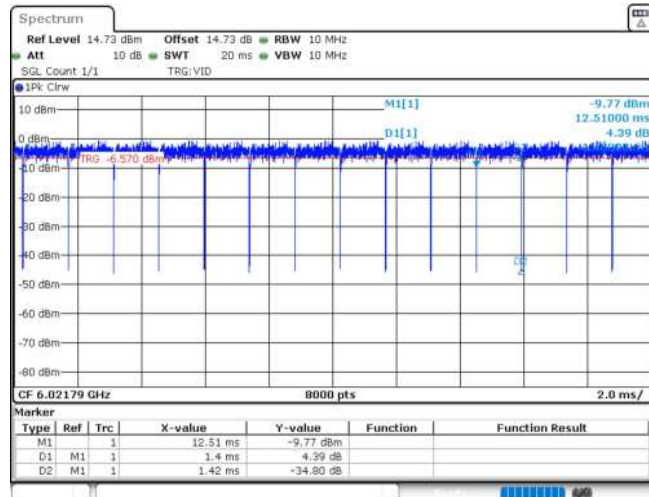
11AX40MIMO_Ant2_7085_242Tone_RU61



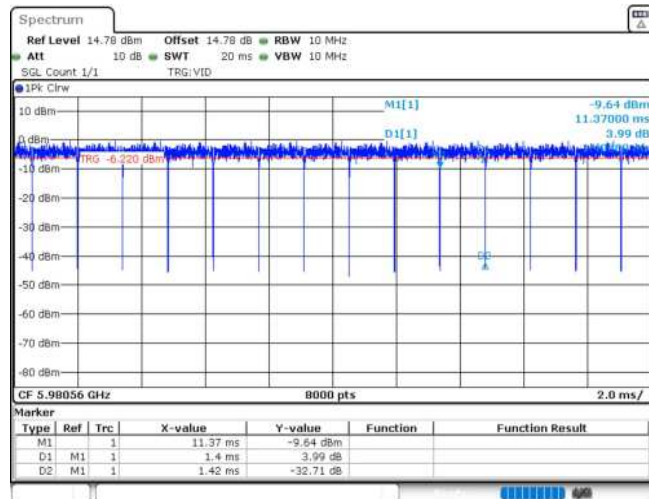
11AX40MIMO_Ant2_7085_242Tone_RU62



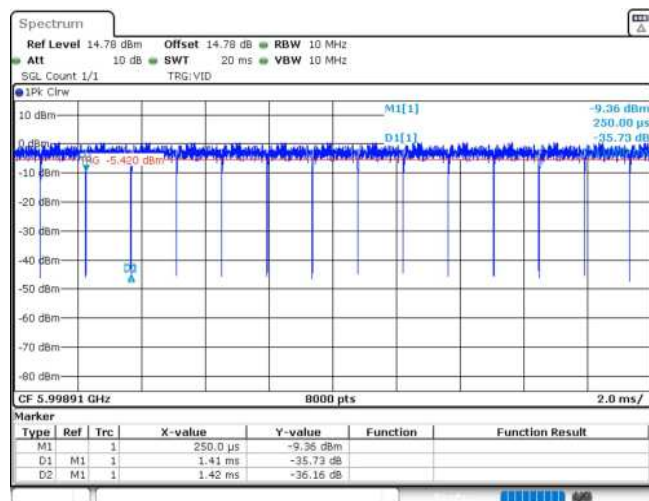
11AX80MIMO_Ant1_5985_484Tone_RU65



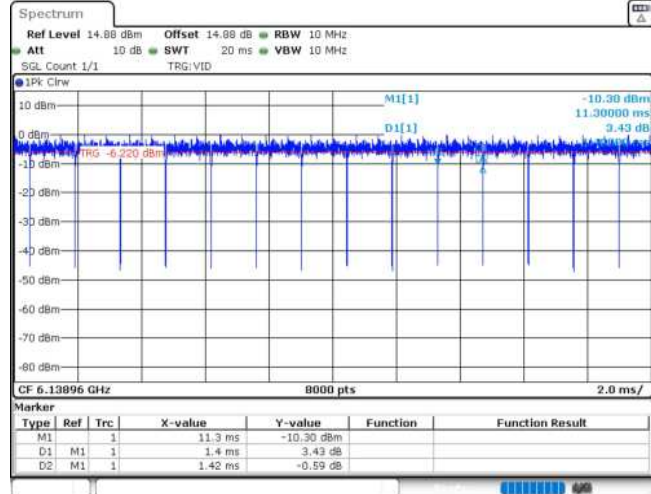
11AX80MIMO_Ant1_5985_484Tone_RU66



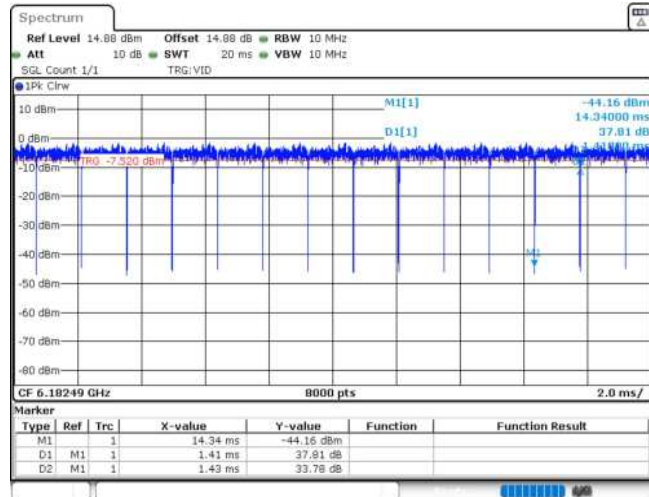
11AX80MIMO_Ant2_5985_484Tone_RU65



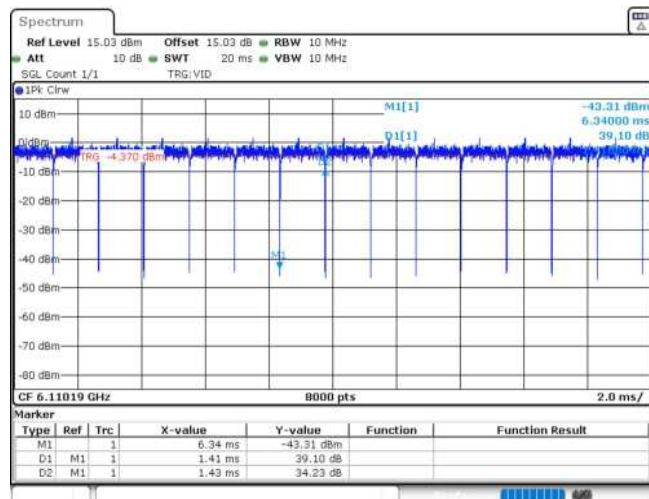
11AX80MIMO_Ant2_5985_484Tone_RU66



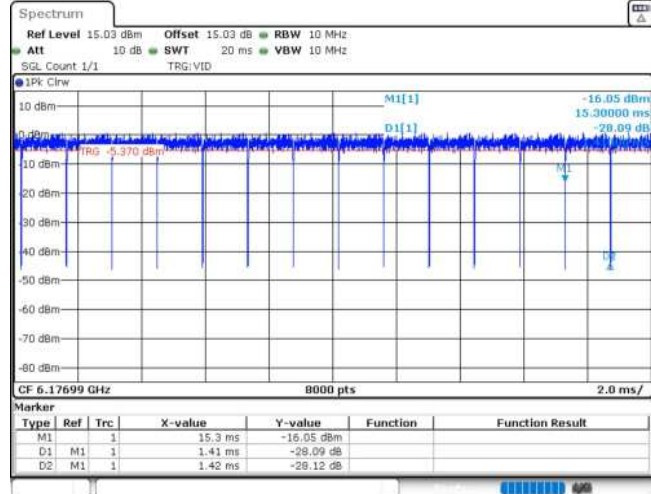
11AX80MIMO_Ant1_6145_484Tone_RU65



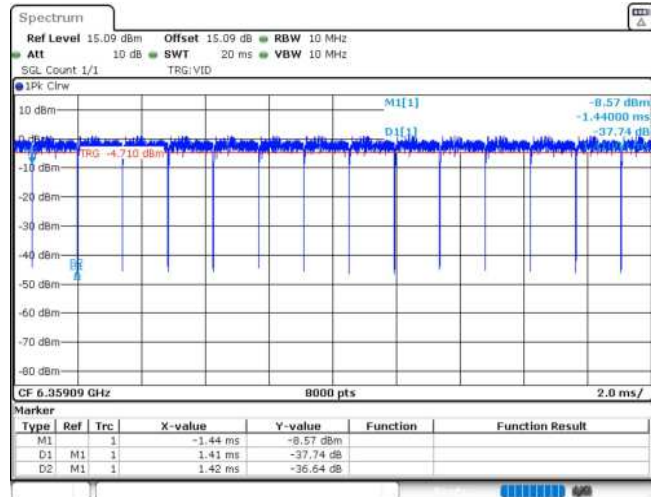
11AX80MIMO_Ant1_6145_484Tone_RU66



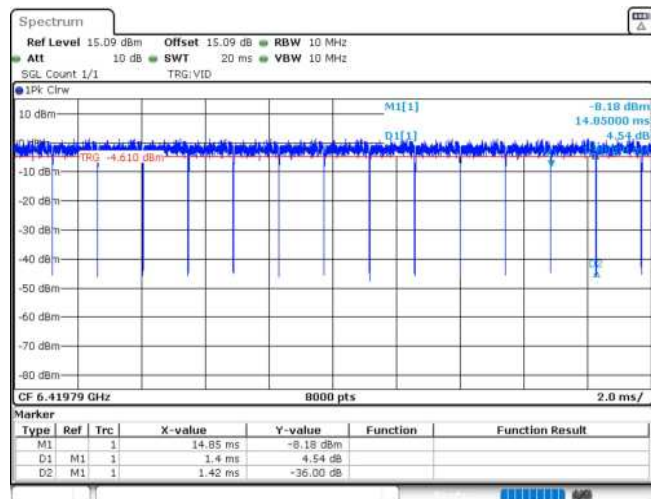
11AX80MIMO_Ant2_6145_484Tone_RU65



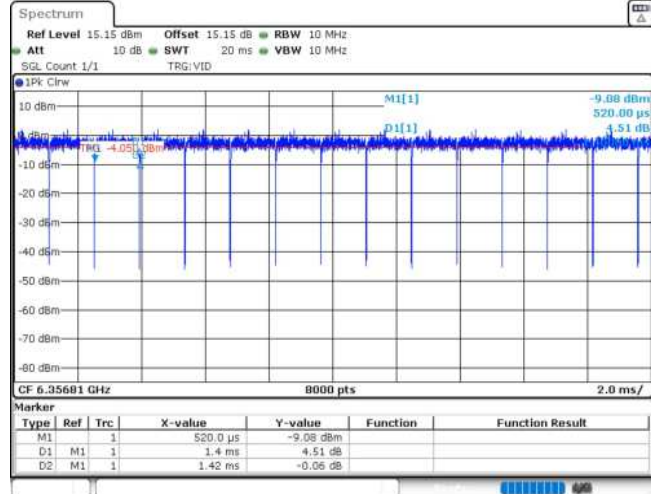
11AX80MIMO_Ant2_6145_484Tone_RU66



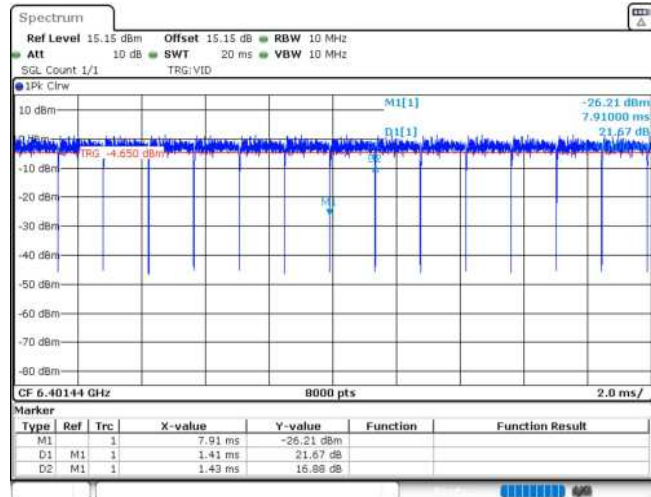
11AX80MIMO_Ant1_6385_484Tone_RU65



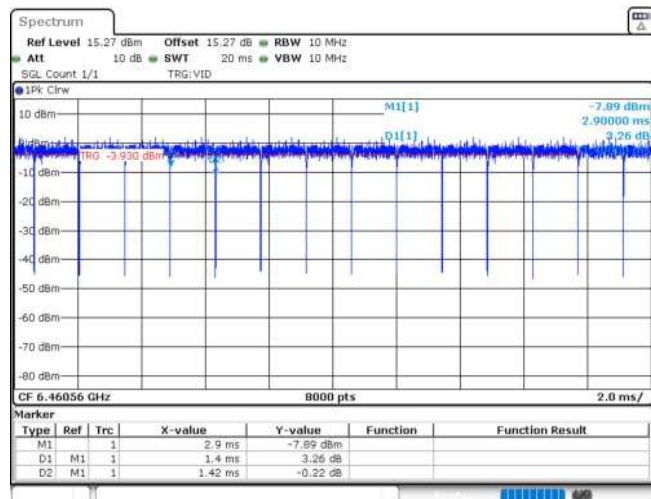
11AX80MIMO_Ant1_6385_484Tone_RU66



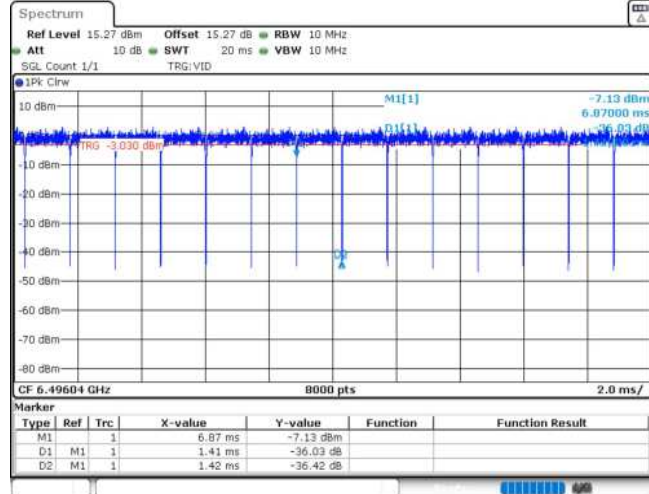
11AX80MIMO_Ant2_6385_484Tone_RU65



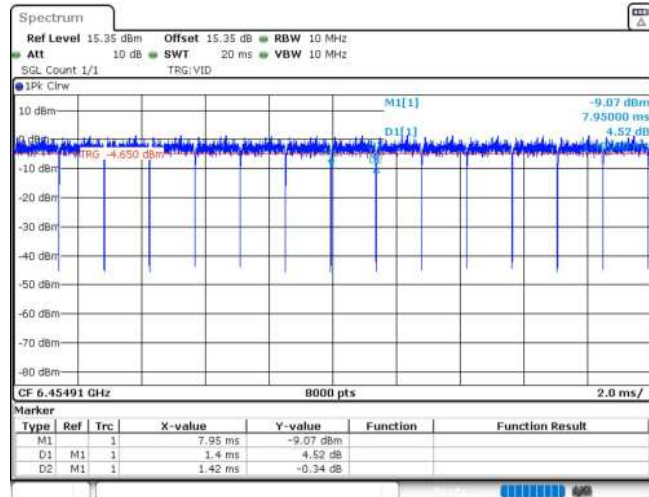
11AX80MIMO_Ant2_6385_484Tone_RU66



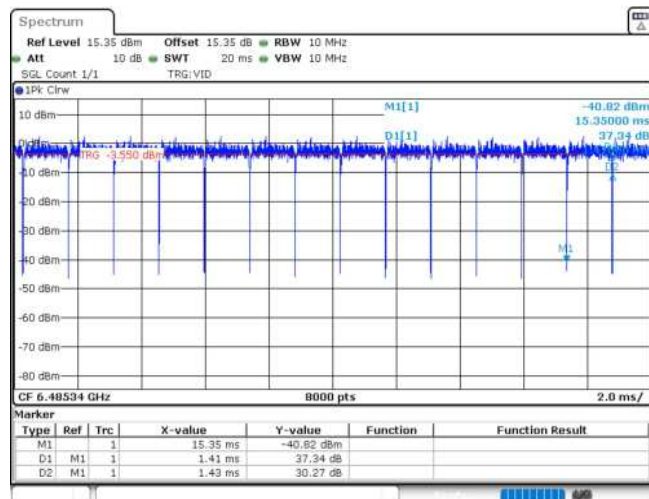
11AX80MIMO_Ant1_6465_484Tone_RU65



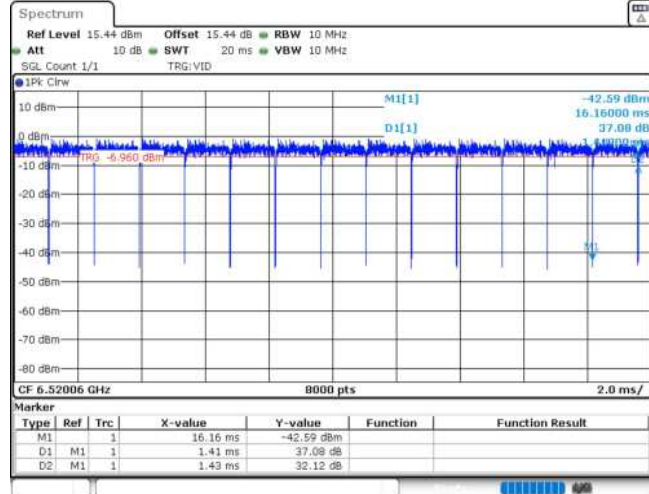
11AX80MIMO_Ant1_6465_484Tone_RU66



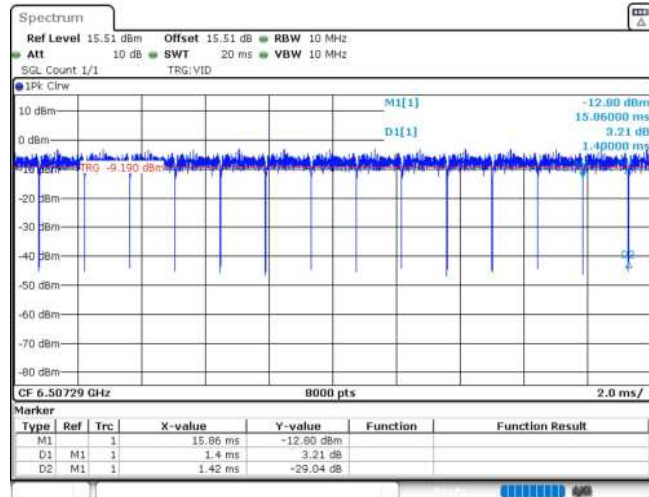
11AX80MIMO_Ant2_6465_484Tone_RU65



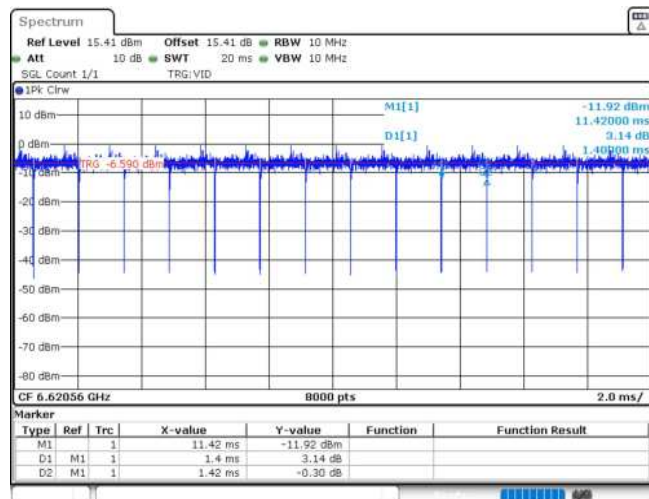
11AX80MIMO_Ant2_6465_484Tone_RU66



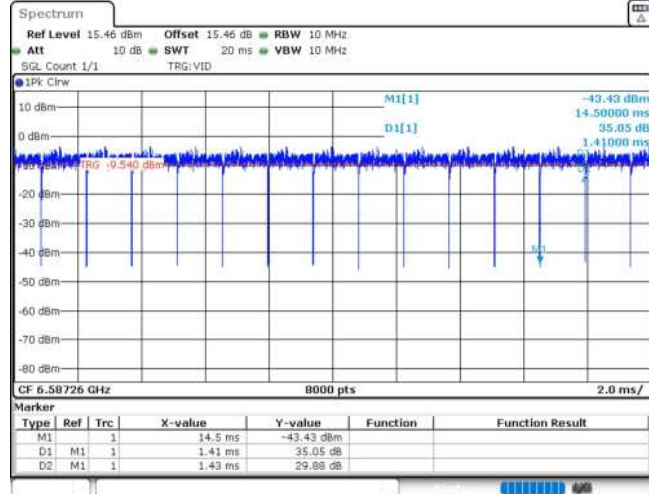
11AX80MIMO_Ant1_6545_484Tone_RU65



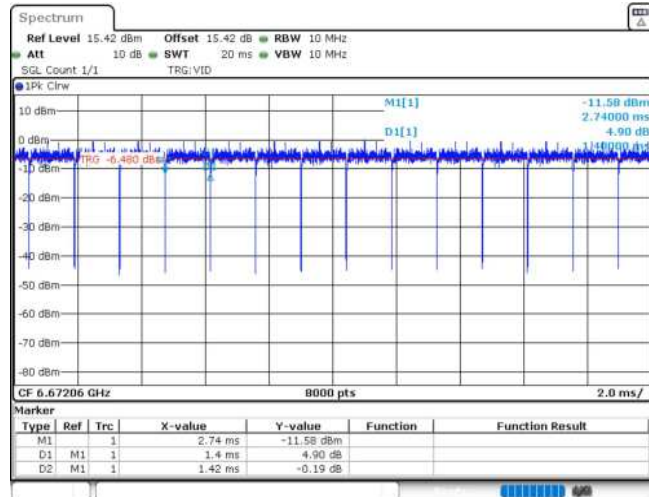
11AX80MIMO_Ant2_6545_484Tone_RU65



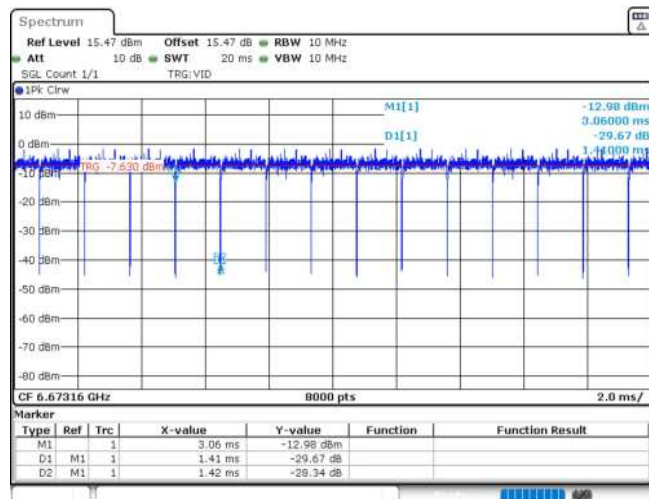
11AX80MIMO_Ant1_6625_484Tone_RU65



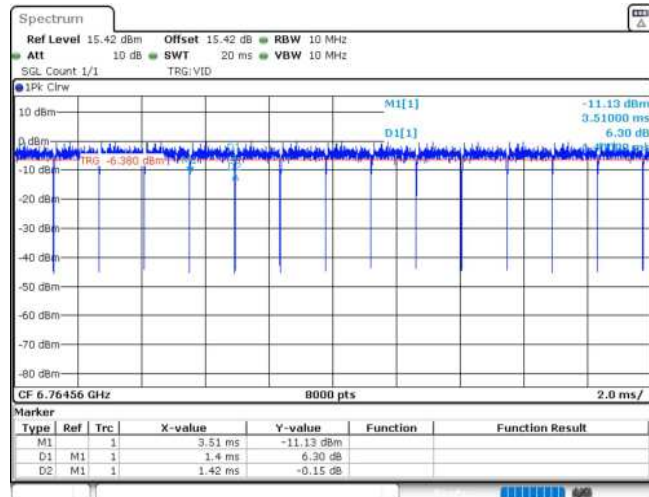
11AX80MIMO_Ant2_6625_484Tone_RU65



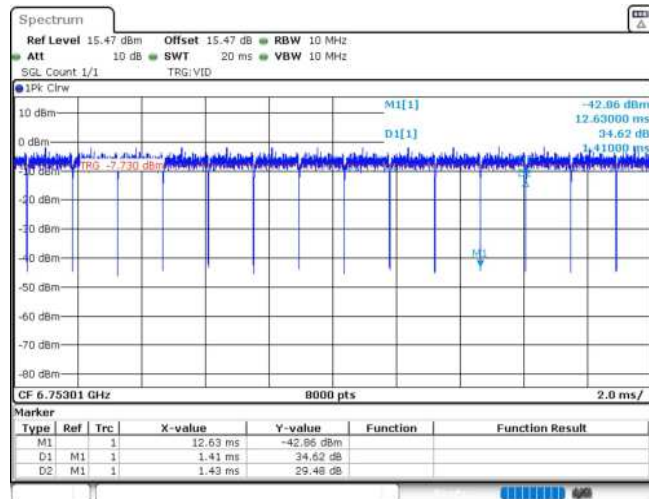
11AX80MIMO_Ant1_6705_484Tone_RU65



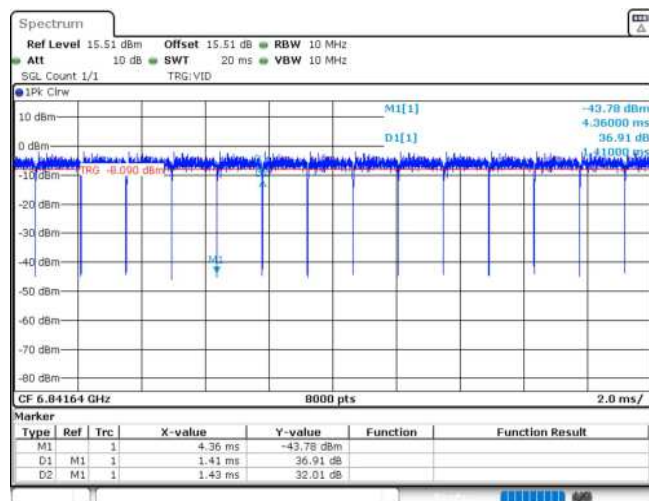
11AX80MIMO_Ant2_6705_484Tone_RU65



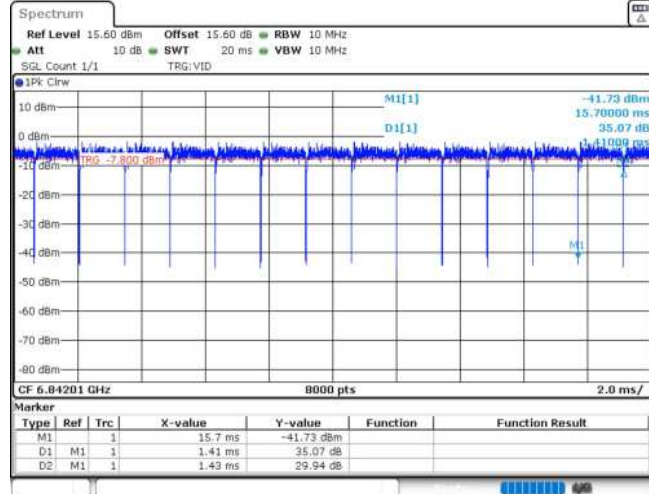
11AX80MIMO_Ant1_6785_484Tone_RU65



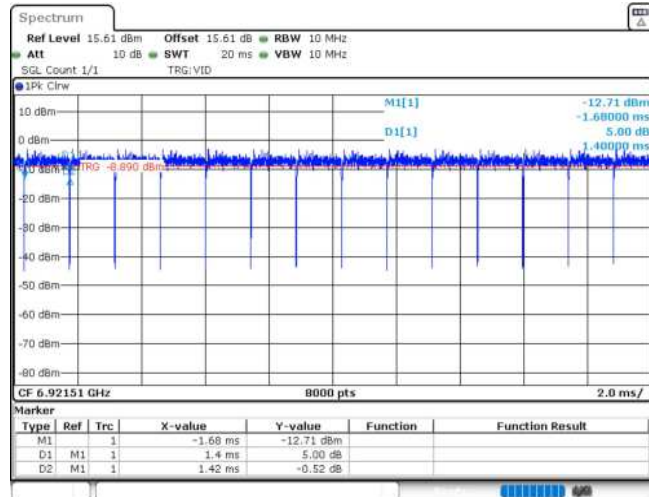
11AX80MIMO_Ant2_6785_484Tone_RU65



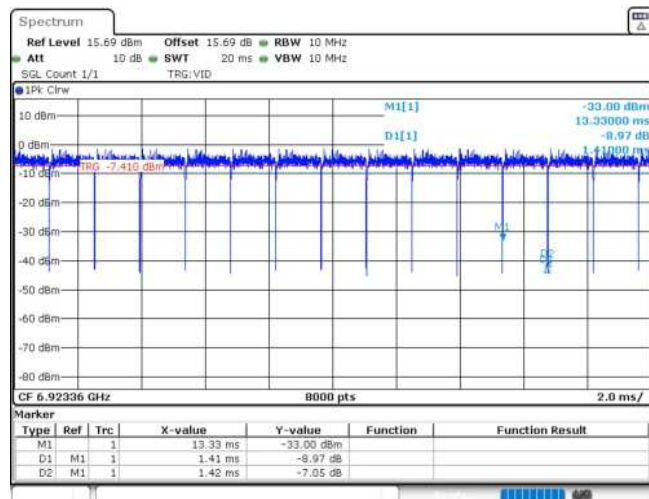
11AX80MIMO_Ant1_6865_484Tone_RU65



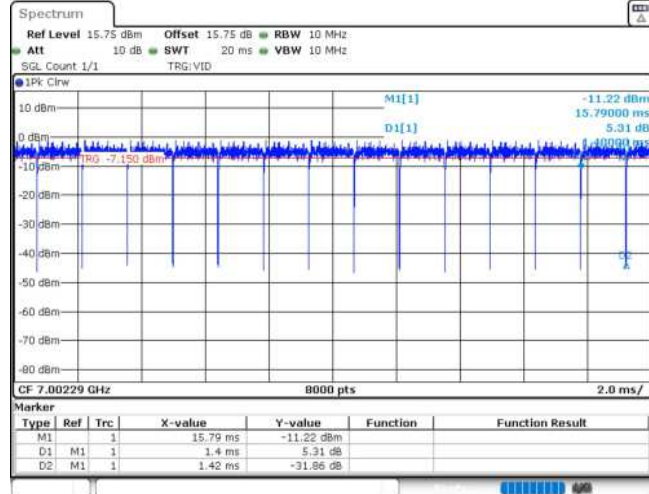
11AX80MIMO_Ant2_6865_484Tone_RU65



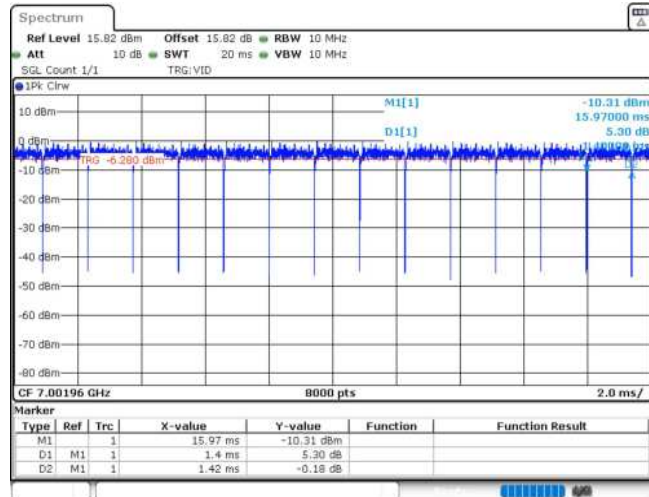
11AX80MIMO_Ant1_6945_484Tone_RU65



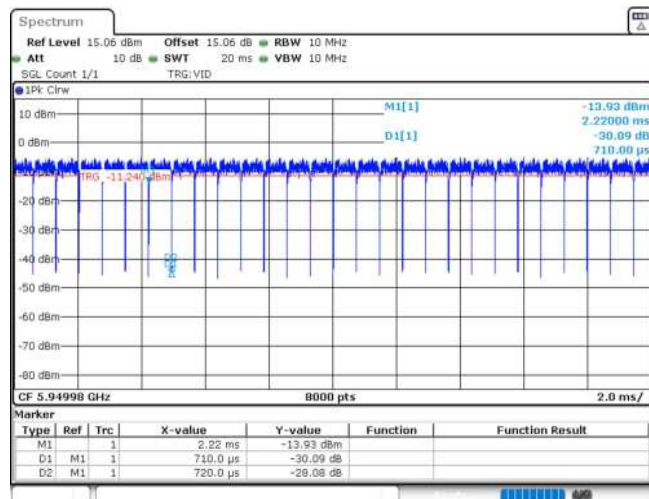
11AX80MIMO_Ant2_6945_484Tone_RU65



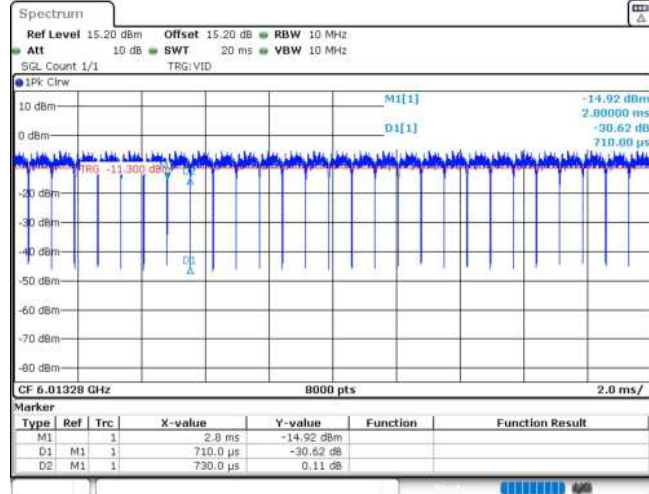
11AX80MIMO_Ant1_7025_484Tone_RU65



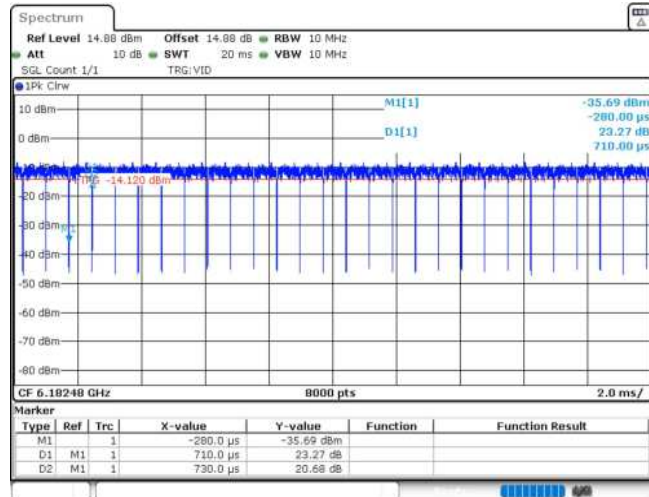
11AX80MIMO_Ant2_7025_484Tone_RU65



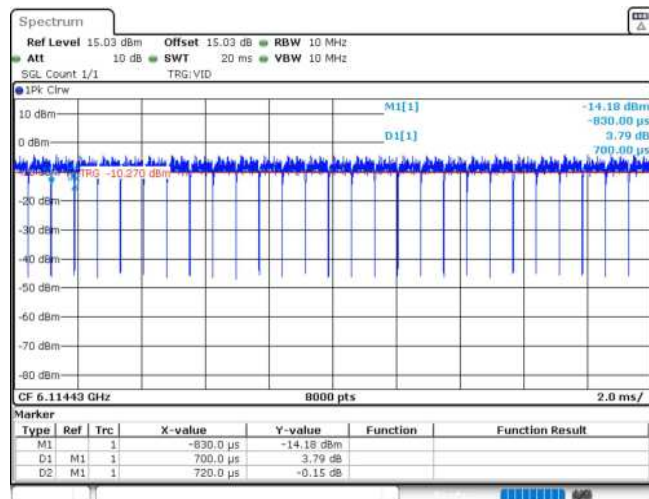
11AX160MIMO_Ant1_6025_996Tone_RU67



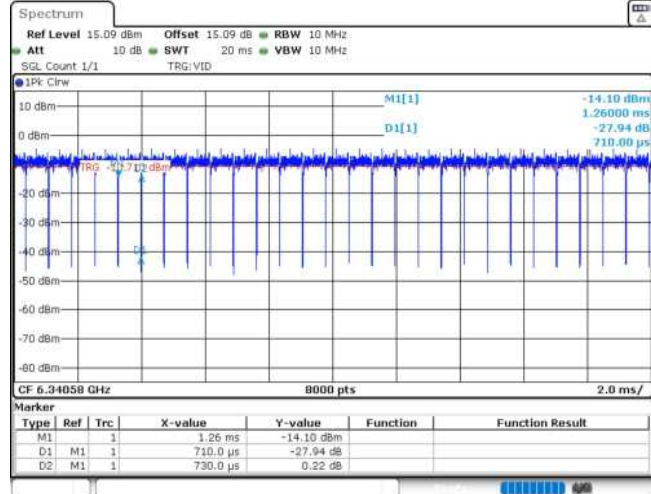
11AX160MIMO_Ant2_6025_996Tone_RU67



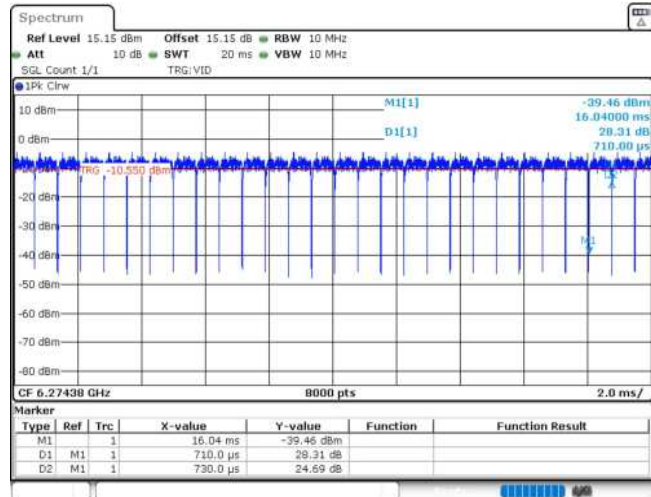
11AX160MIMO_Ant1_6185_996Tone_RU67



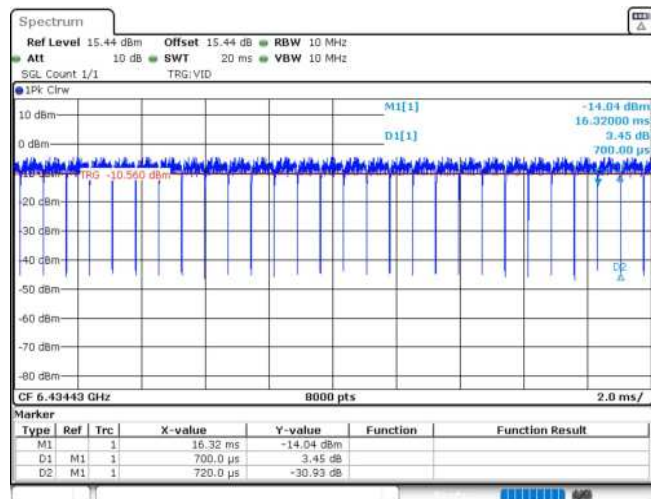
11AX160MIMO_Ant2_6185_996Tone_RU67



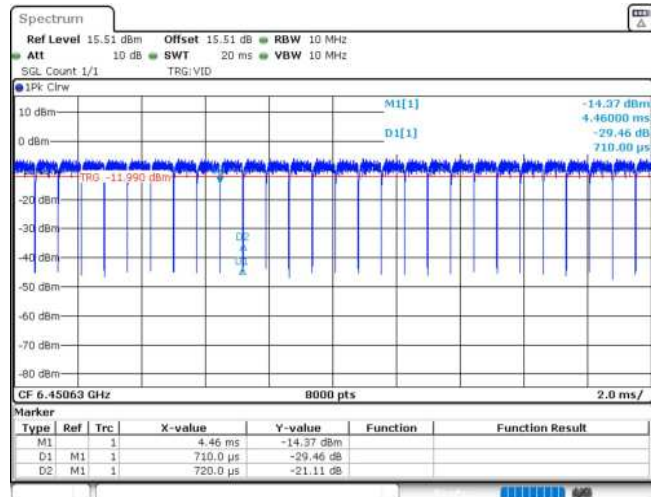
11AX160MIMO_Ant1_6345_996Tone_RU67



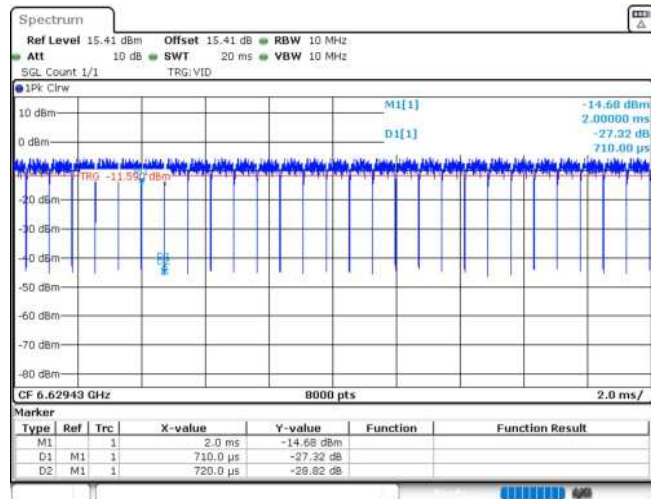
11AX160MIMO_Ant2_6345_996Tone_RU67



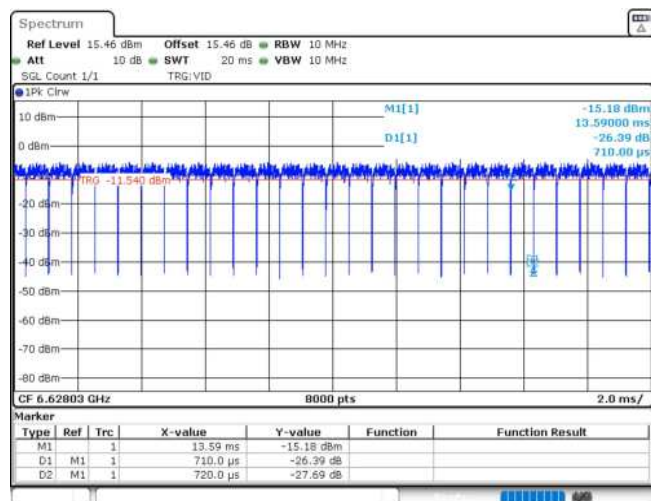
11AX160MIMO_Ant1_6505_996Tone_RU67



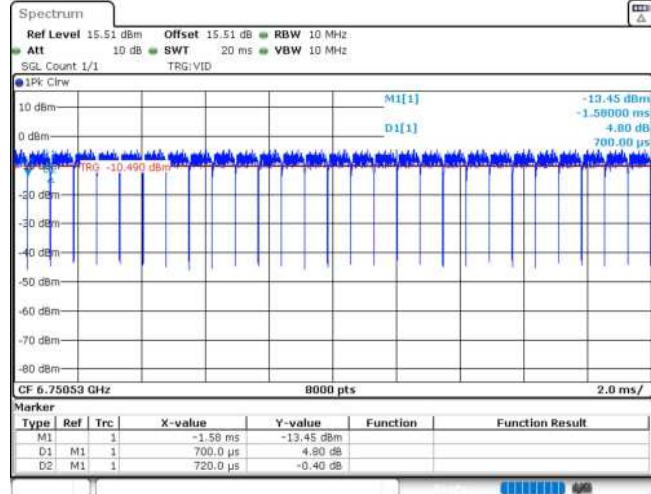
11AX160MIMO_Ant2_6505_996Tone_RU67



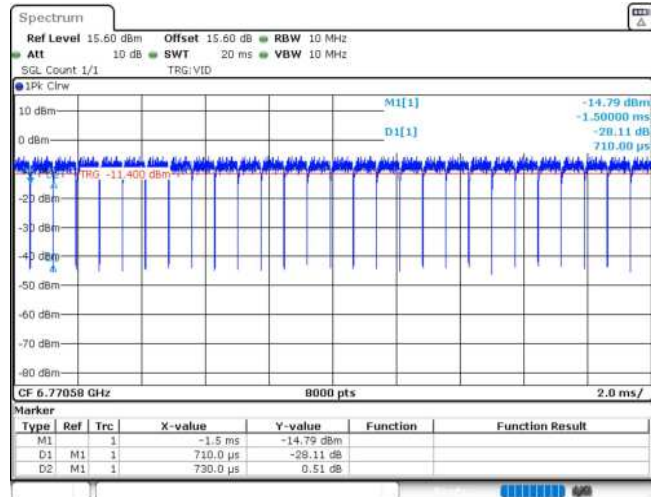
11AX160MIMO_Ant1_6665_996Tone_RU67



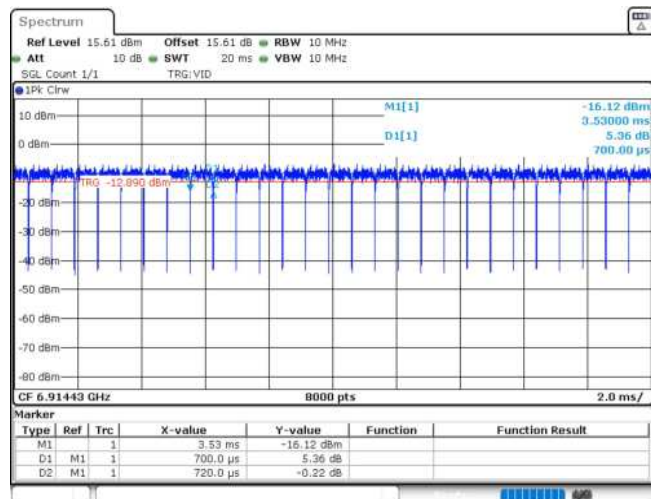
11AX160MIMO_Ant2_6665_996Tone_RU67



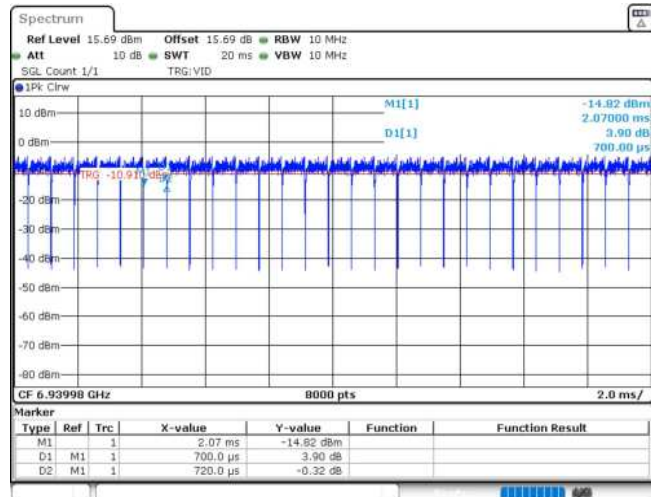
11AX160MIMO_Ant1_6825_996Tone_RU67



11AX160MIMO_Ant2_6825_996Tone_RU67



11AX160MIMO_Ant1_6985_996Tone_RU67



11AX160MIMO_Ant2_6985_996Tone_RU67

Appendix C: Maximum power spectral density

Test Graphs



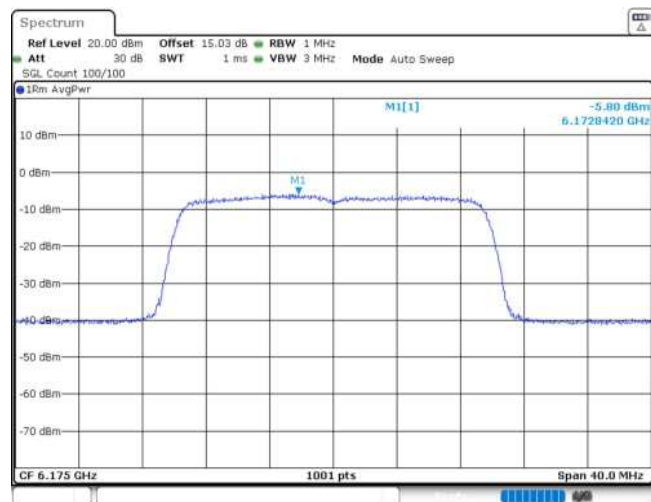
11AX20MIMO_Ant1_5955



11AX20MIMO_Ant2_5955



11AX20MIMO_Ant1_6175



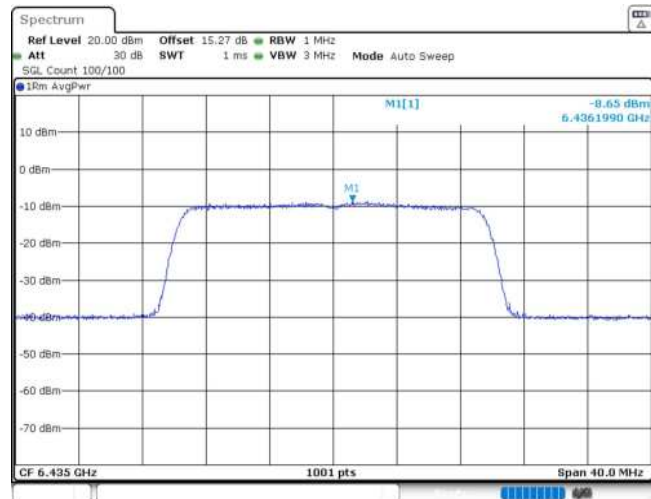
11AX20MIMO_Ant2_6175



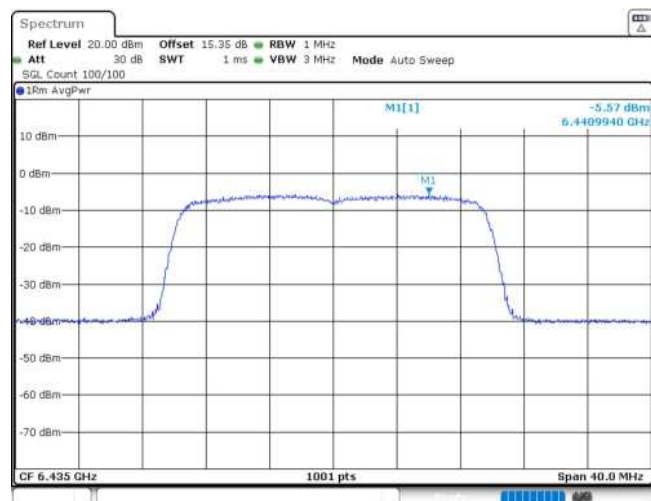
11AX20MIMO_Ant1_6415



11AX20MIMO_Ant2_6415



11AX20MIMO_Ant1_6435



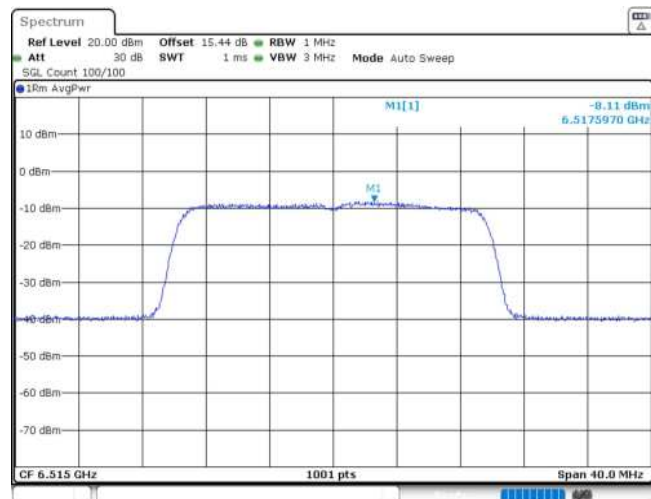
11AX20MIMO_Ant2_6435



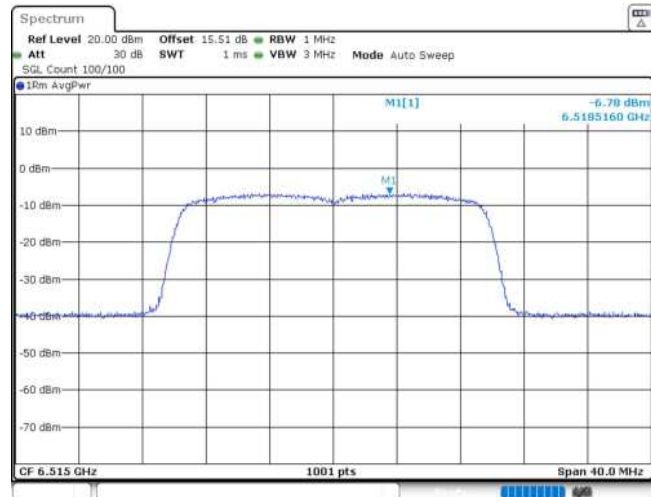
11AX20MIMO_Ant1_6475



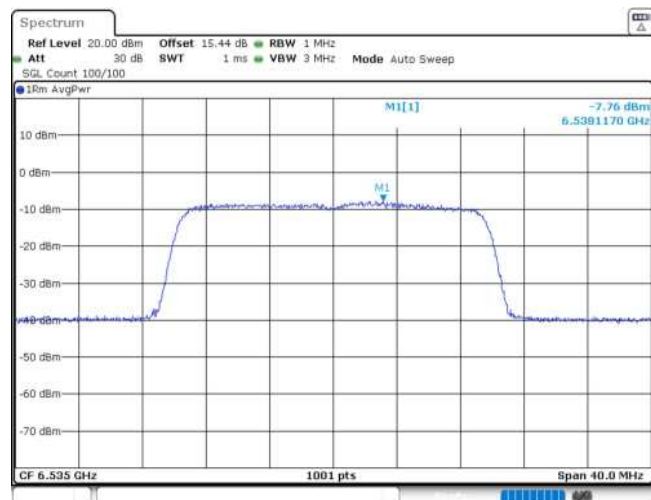
11AX20MIMO_Ant2_6475



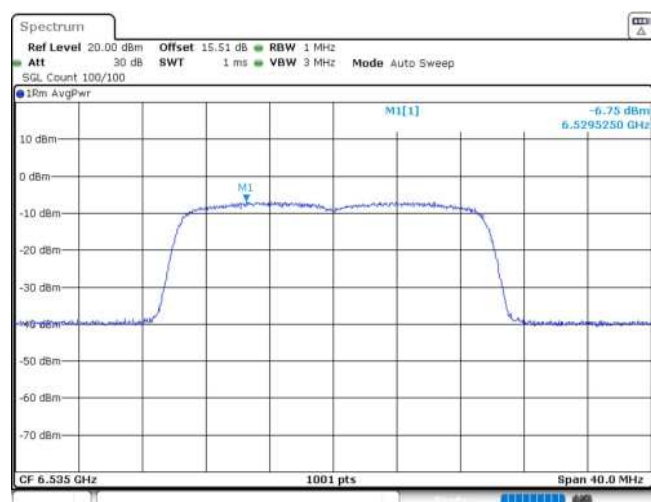
11AX20MIMO_Ant1_6515



11AX20MIMO_Ant2_6515



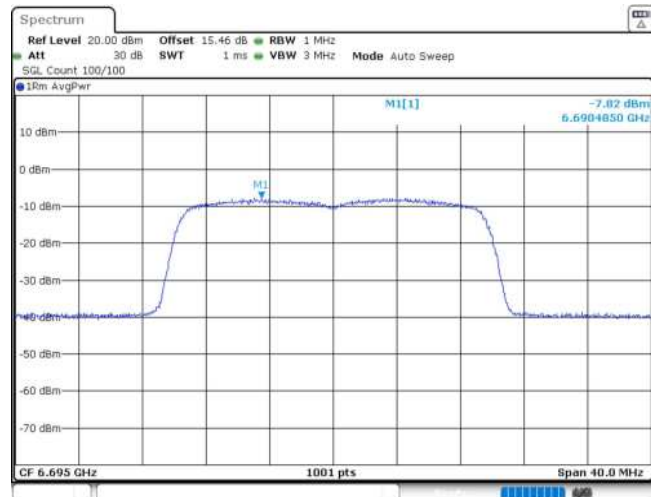
11AX20MIMO_Ant1_6535



11AX20MIMO_Ant2_6535



11AX20MIMO_Ant1_6695



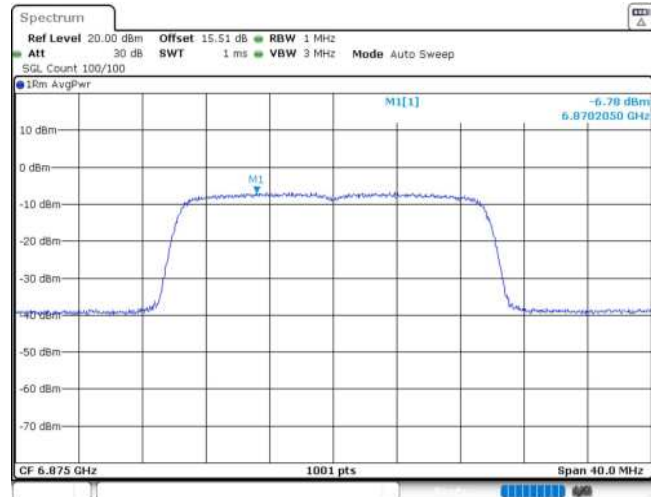
11AX20MIMO_Ant2_6695



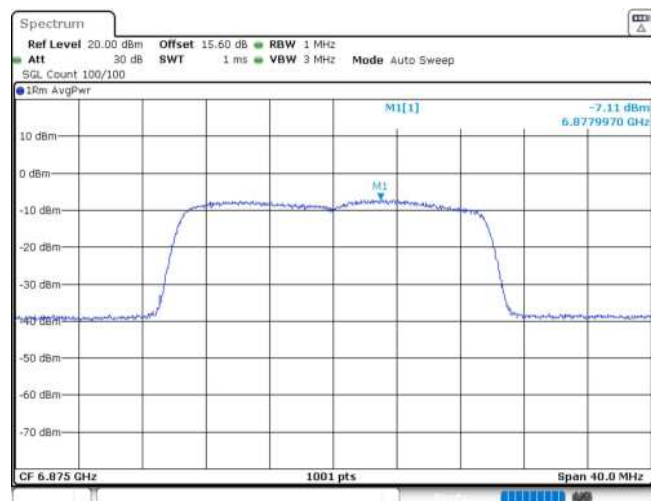
11AX20MIMO_Ant1_6855



11AX20MIMO_Ant2_6855



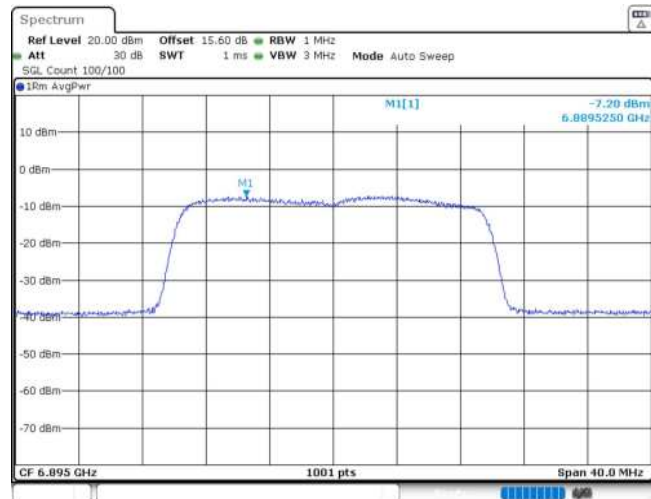
11AX20MIMO_Ant1_6875



11AX20MIMO_Ant2_6875



11AX20MIMO_Ant1_6895



11AX20MIMO_Ant2_6895



11AX20MIMO_Ant1_6995



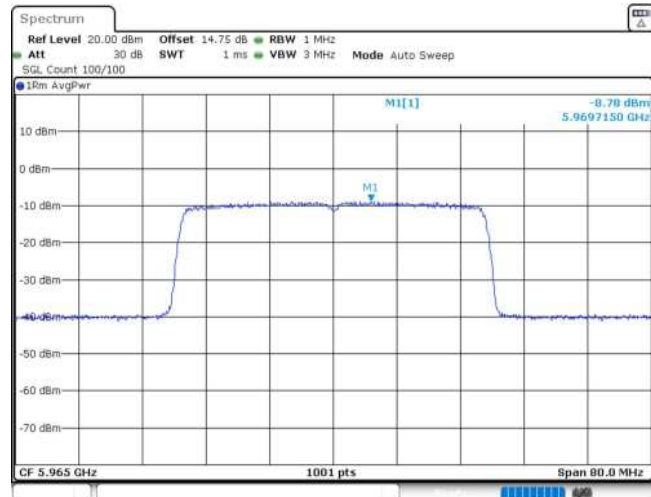
11AX20MIMO_Ant2_6995



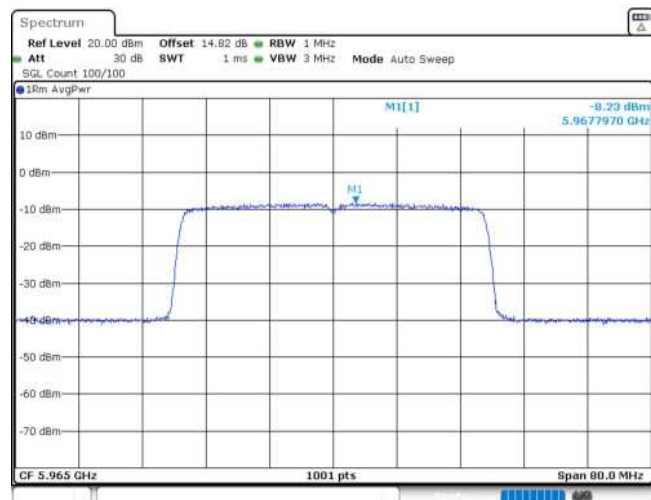
11AX20MIMO_Ant1_7115



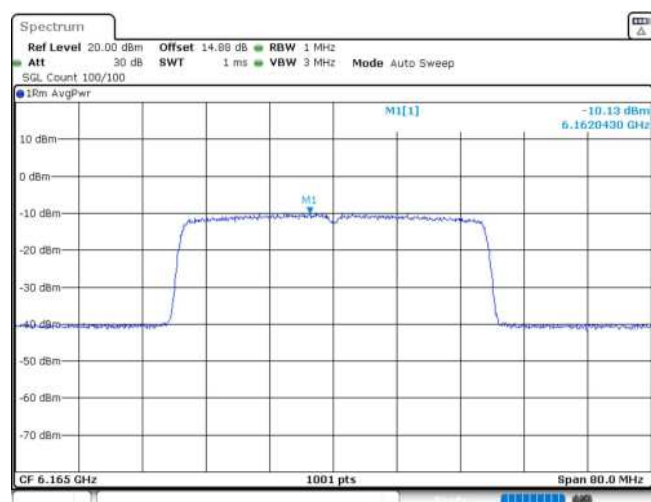
11AX20MIMO_Ant2_7115



11AX40MIMO_Ant1_5965



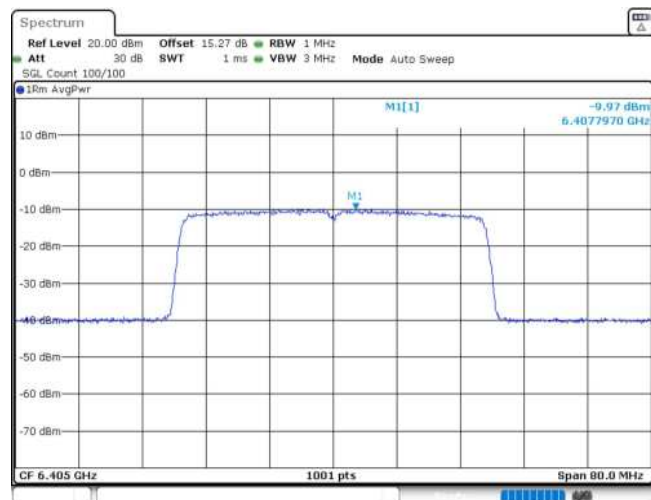
11AX40MIMO_Ant2_5965



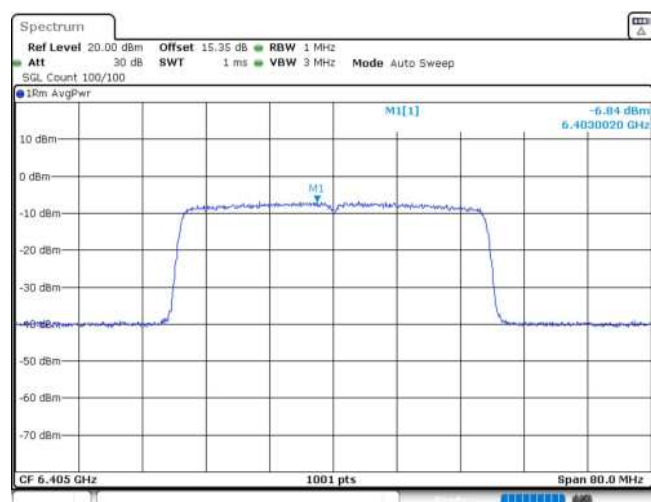
11AX40MIMO_Ant1_6165



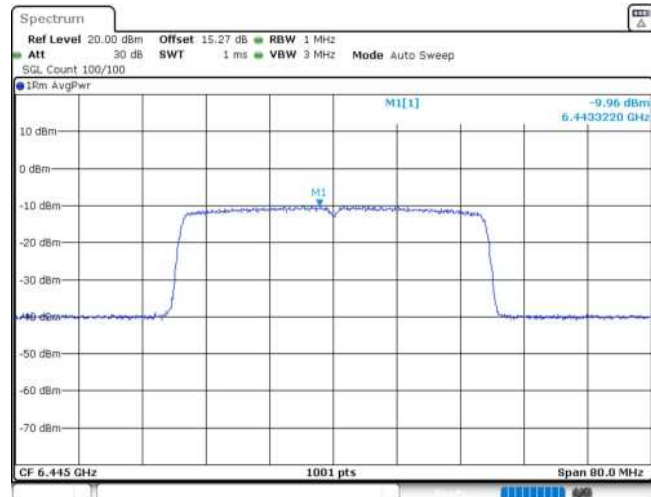
11AX40MIMO_Ant2_6165



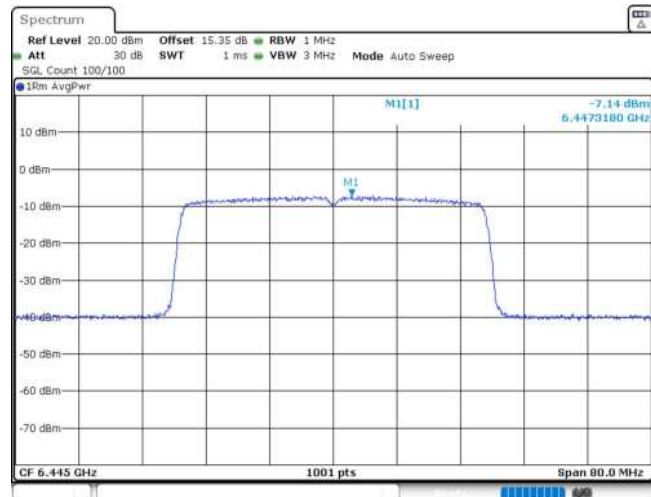
11AX40MIMO_Ant1_6405



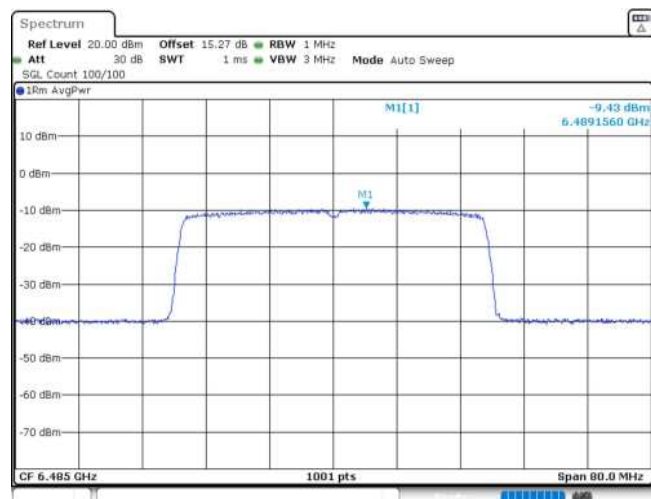
11AX40MIMO_Ant2_6405



11AX40MIMO_Ant1_6445



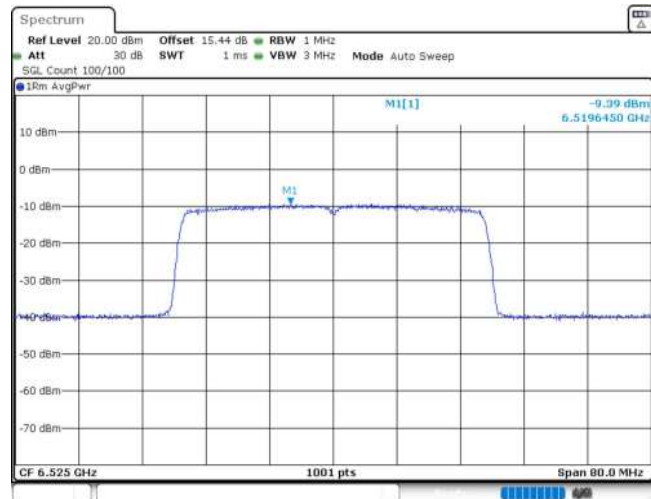
11AX40MIMO_Ant2_6445



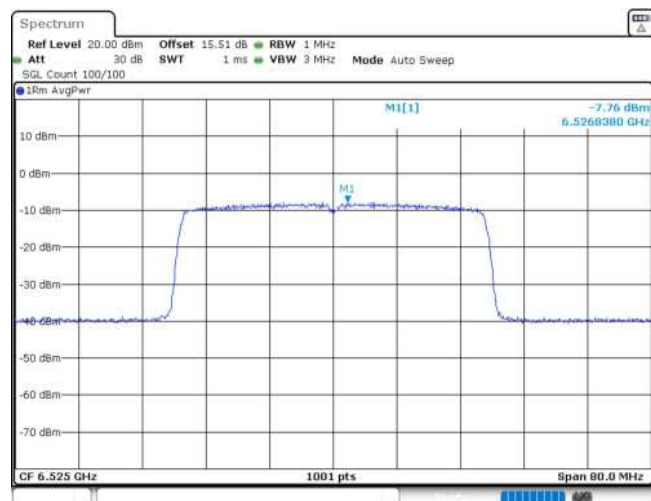
11AX40MIMO_Ant1_6485



11AX40MIMO_Ant2_6485



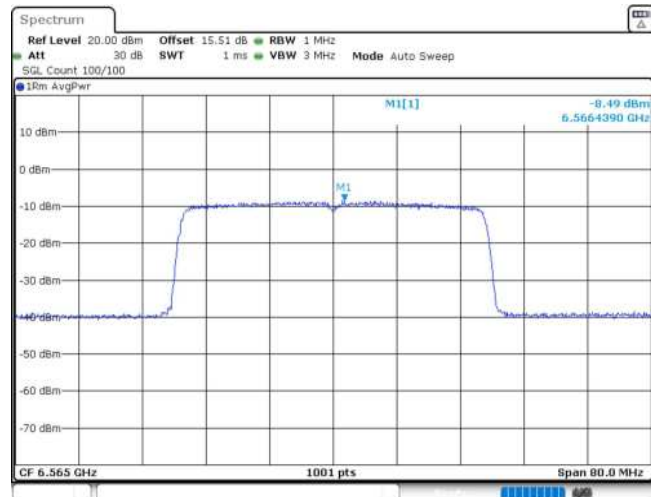
11AX40MIMO_Ant1_6525



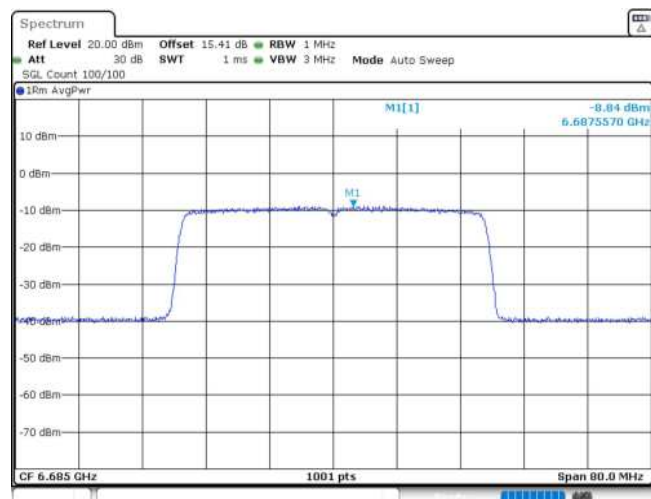
11AX40MIMO_Ant2_6525



11AX40MIMO_Ant1_6565



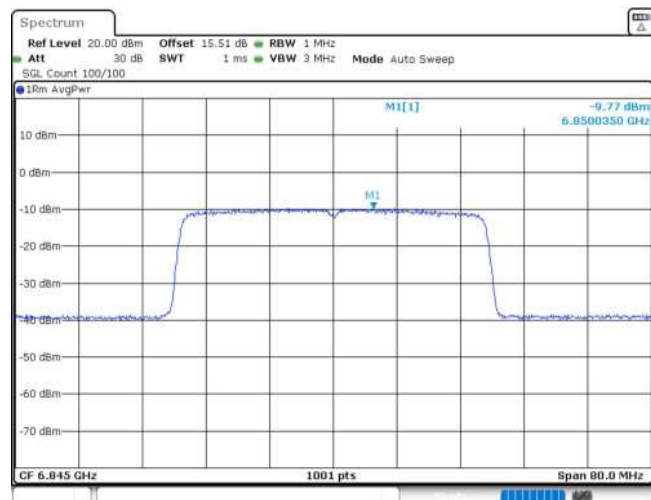
11AX40MIMO_Ant2_6565



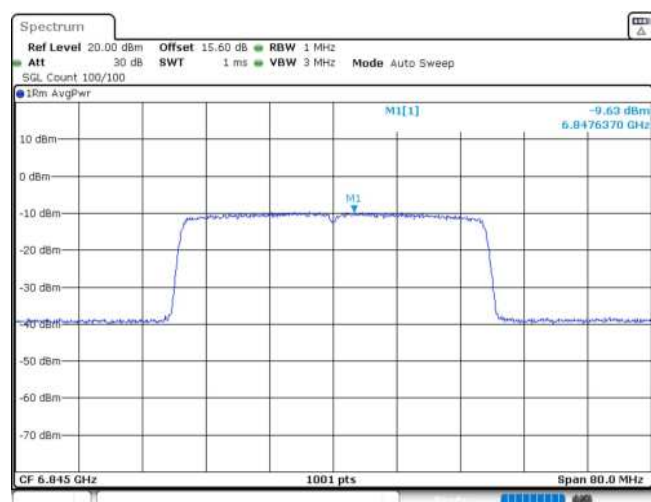
11AX40MIMO_Ant1_6685



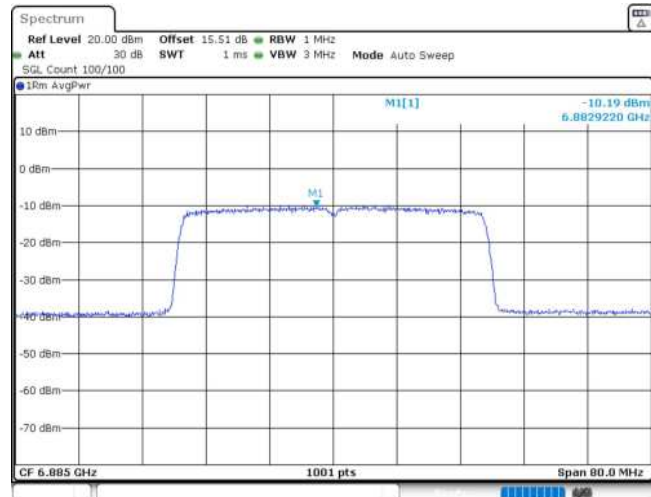
11AX40MIMO_Ant2_6685



11AX40MIMO_Ant1_6845



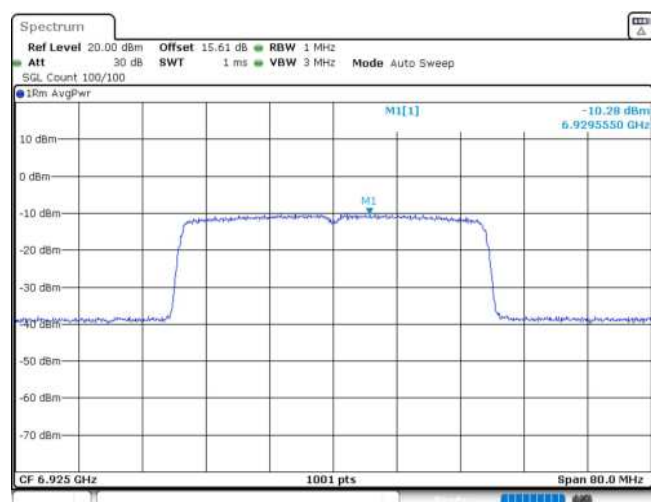
11AX40MIMO_Ant2_6845



11AX40MIMO_Ant1_6885



11AX40MIMO_Ant2_6885



11AX40MIMO_Ant1_6925



11AX40MIMO_Ant2_6925



11AX40MIMO_Ant1_6965



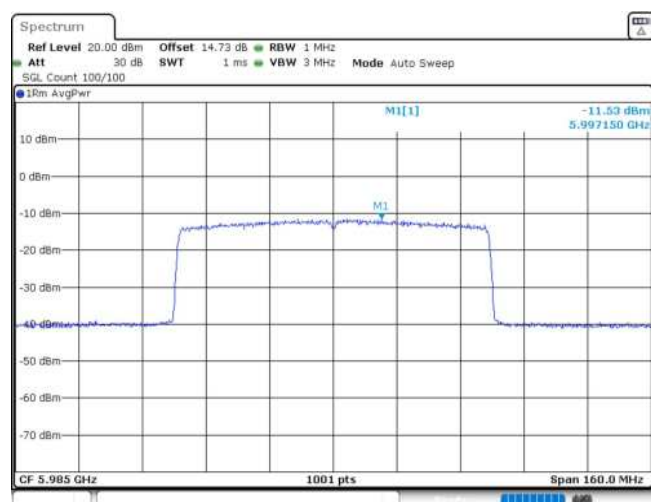
11AX40MIMO_Ant2_6965



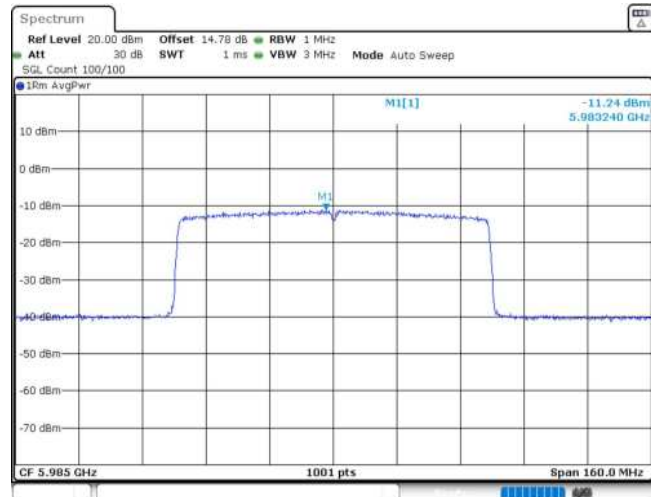
11AX40MIMO_Ant1_7085



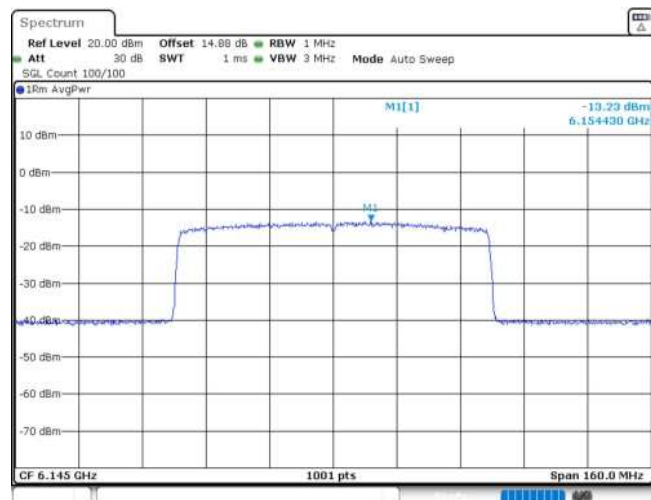
11AX40MIMO_Ant2_7085



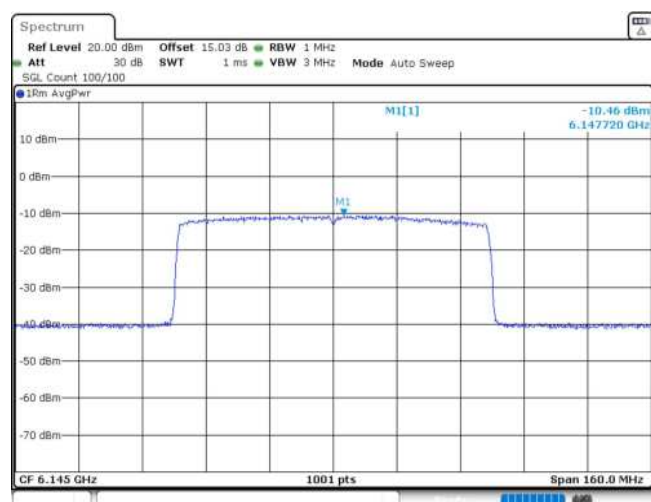
11AX80MIMO_Ant1_5985



11AX80MIMO_Ant2_5985



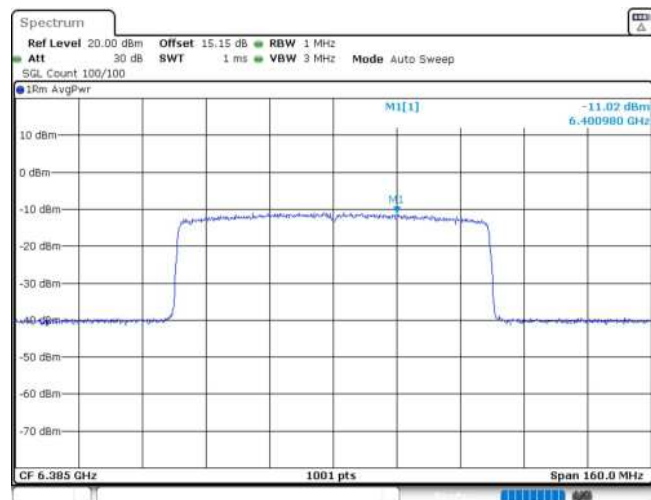
11AX80MIMO_Ant1_6145



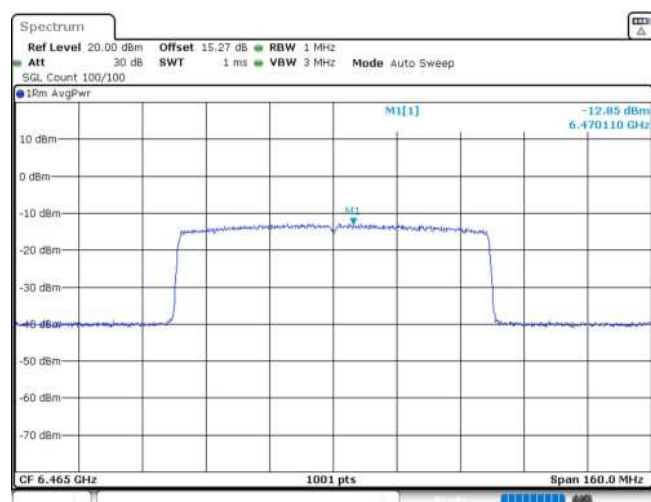
11AX80MIMO_Ant2_6145



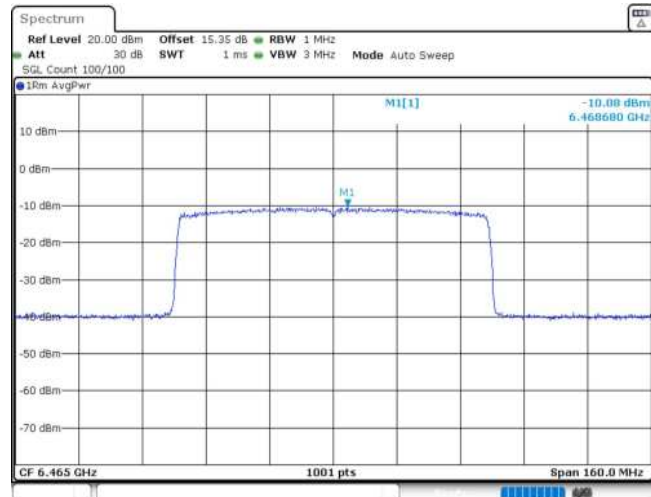
11AX80MIMO_Ant1_6385



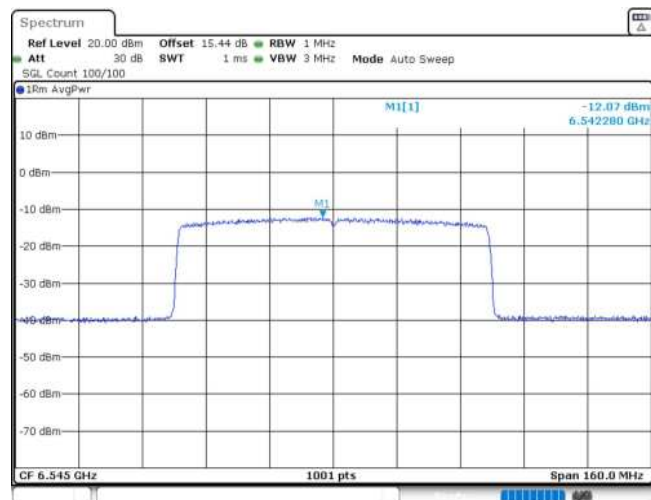
11AX80MIMO_Ant2_6385



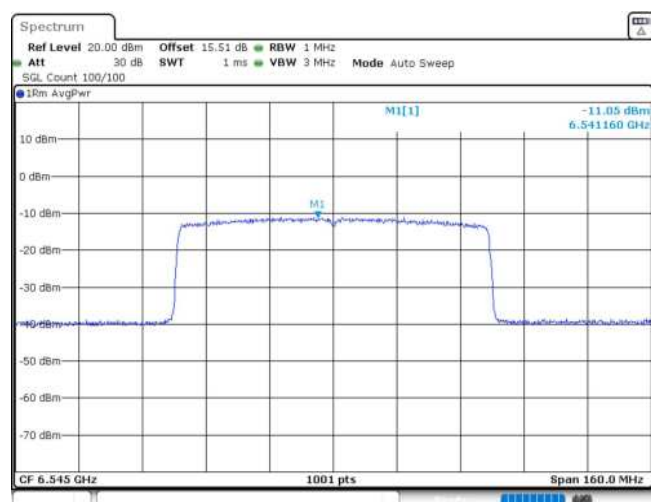
11AX80MIMO_Ant1_6465



11AX80MIMO_Ant2_6465



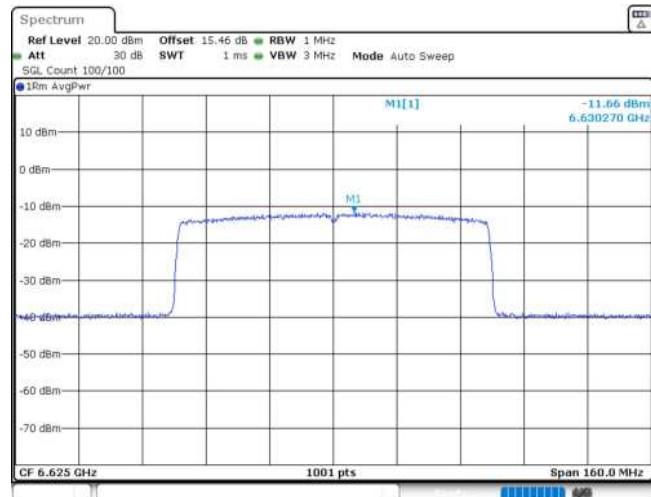
11AX80MIMO_Ant1_6545



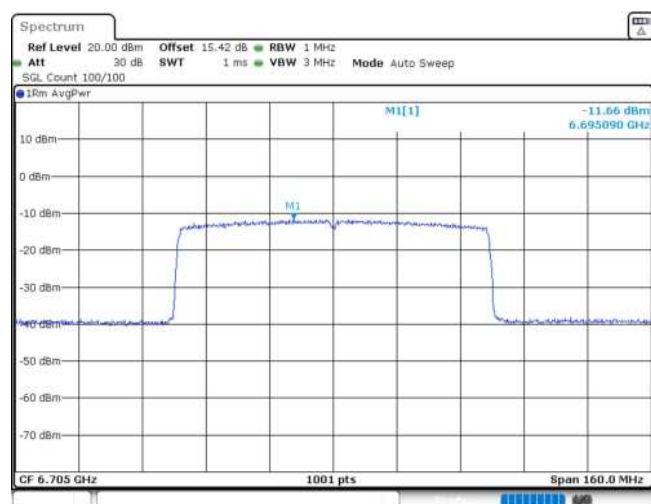
11AX80MIMO_Ant2_6545



11AX80MIMO_Ant1_6625



11AX80MIMO_Ant2_6625



11AX80MIMO_Ant1_6705